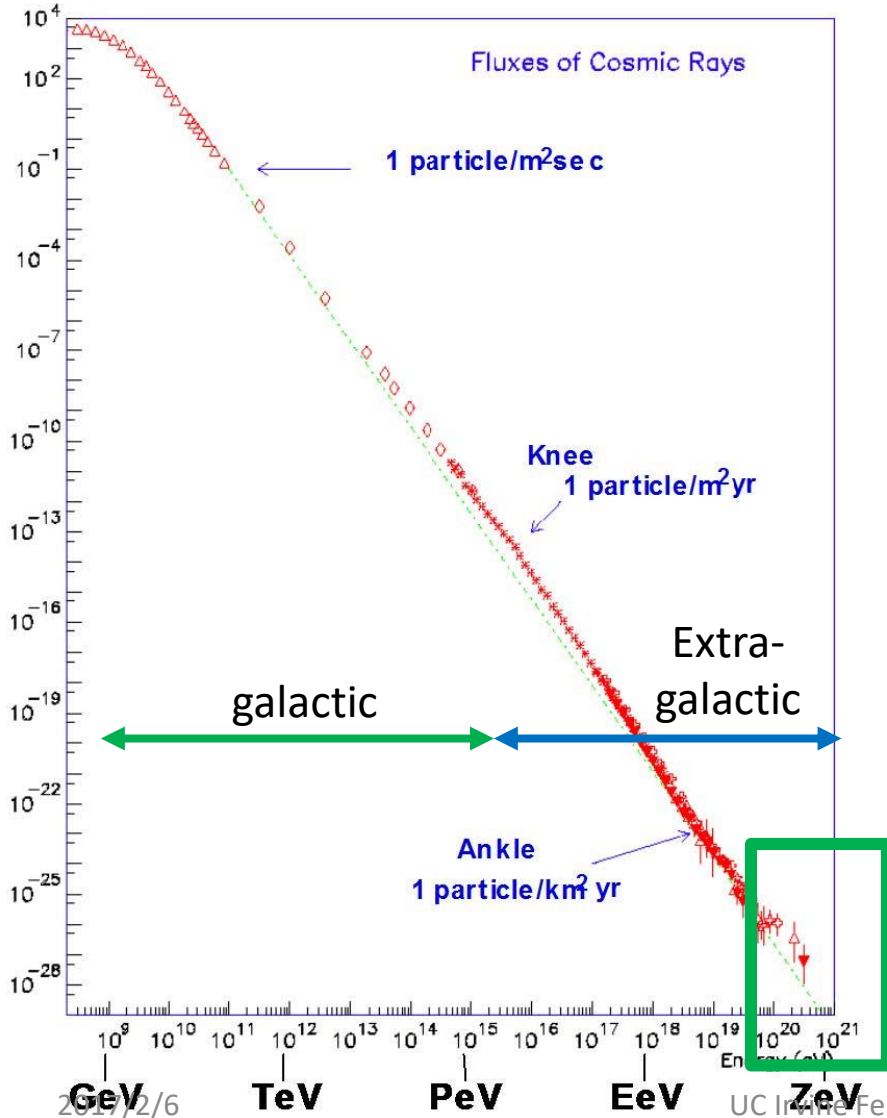


# Astronomical ZeV Acceleration in the relativistic jet from an accreting supermassive blackholes

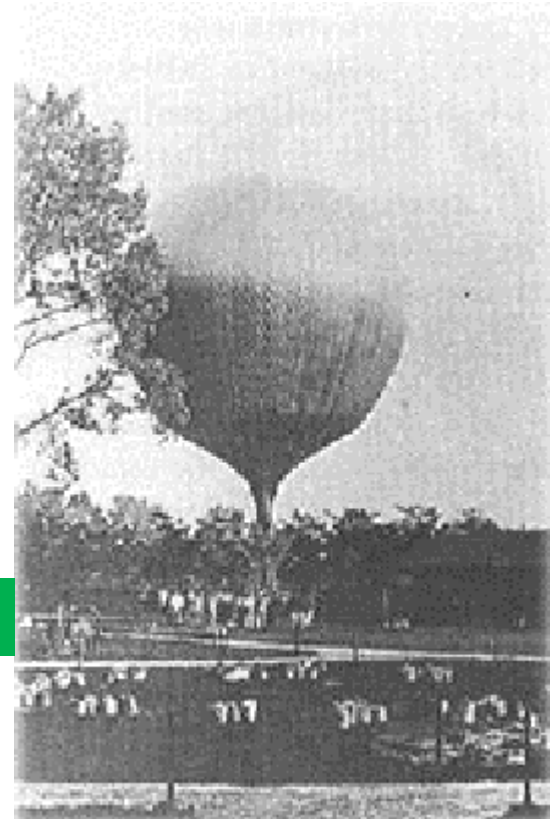
Toshikazu Ebisuzaki and Akira Mizuta  
(RIKEN)

Toshiki Tajima (UC Irvine)

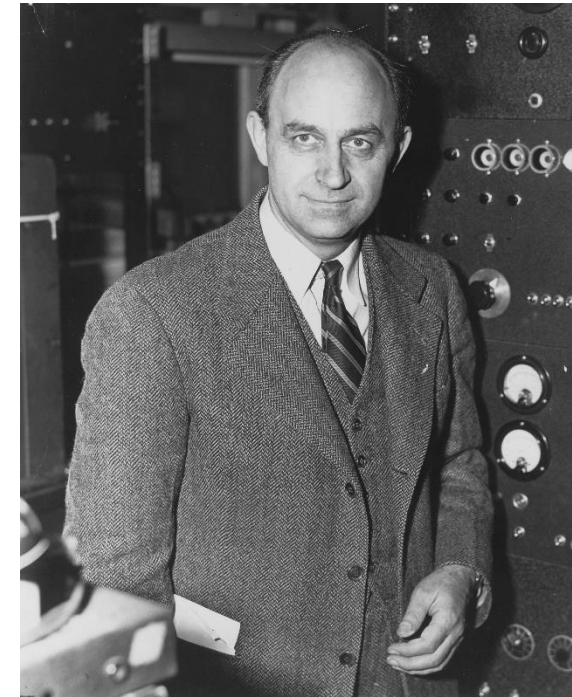
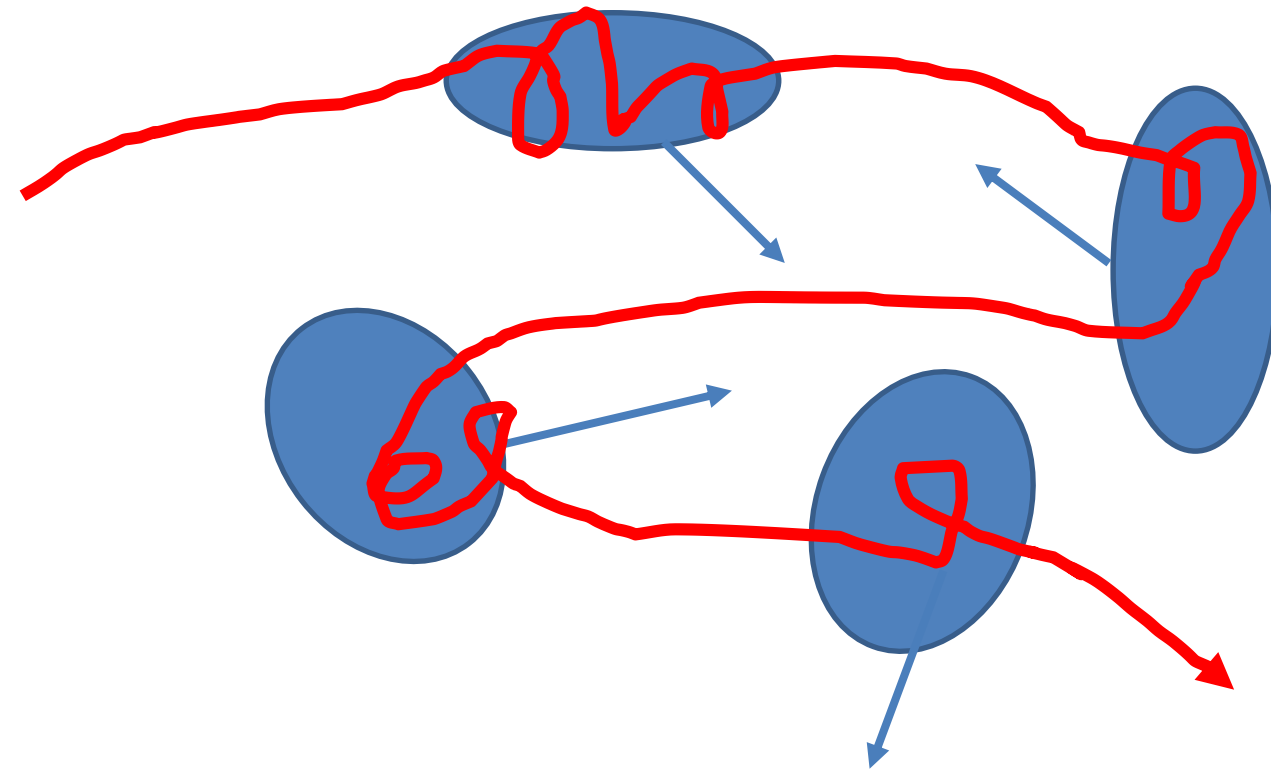
# Origin of Cosmic rays



- 100 years enigma
  - Discovered in 1912  
by Victor Hess



# Conventional theory: Fermi mechanism



E. Fermi, ApJ 119 (1954) 1.

UC Irvine February 6, 2017

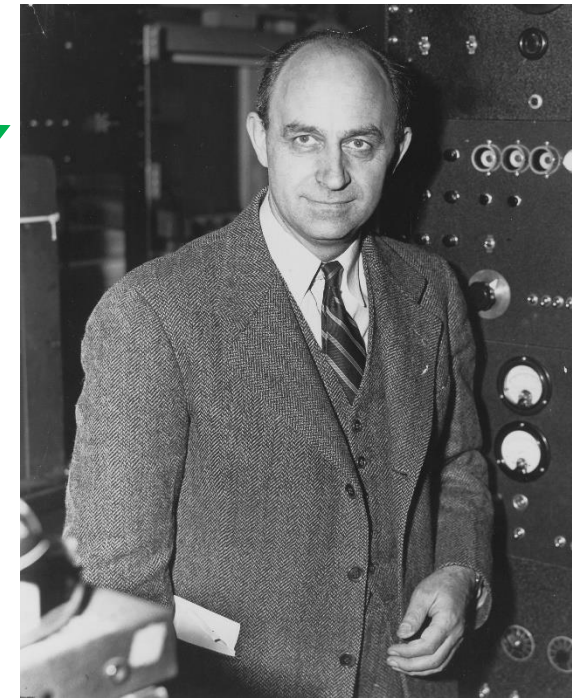
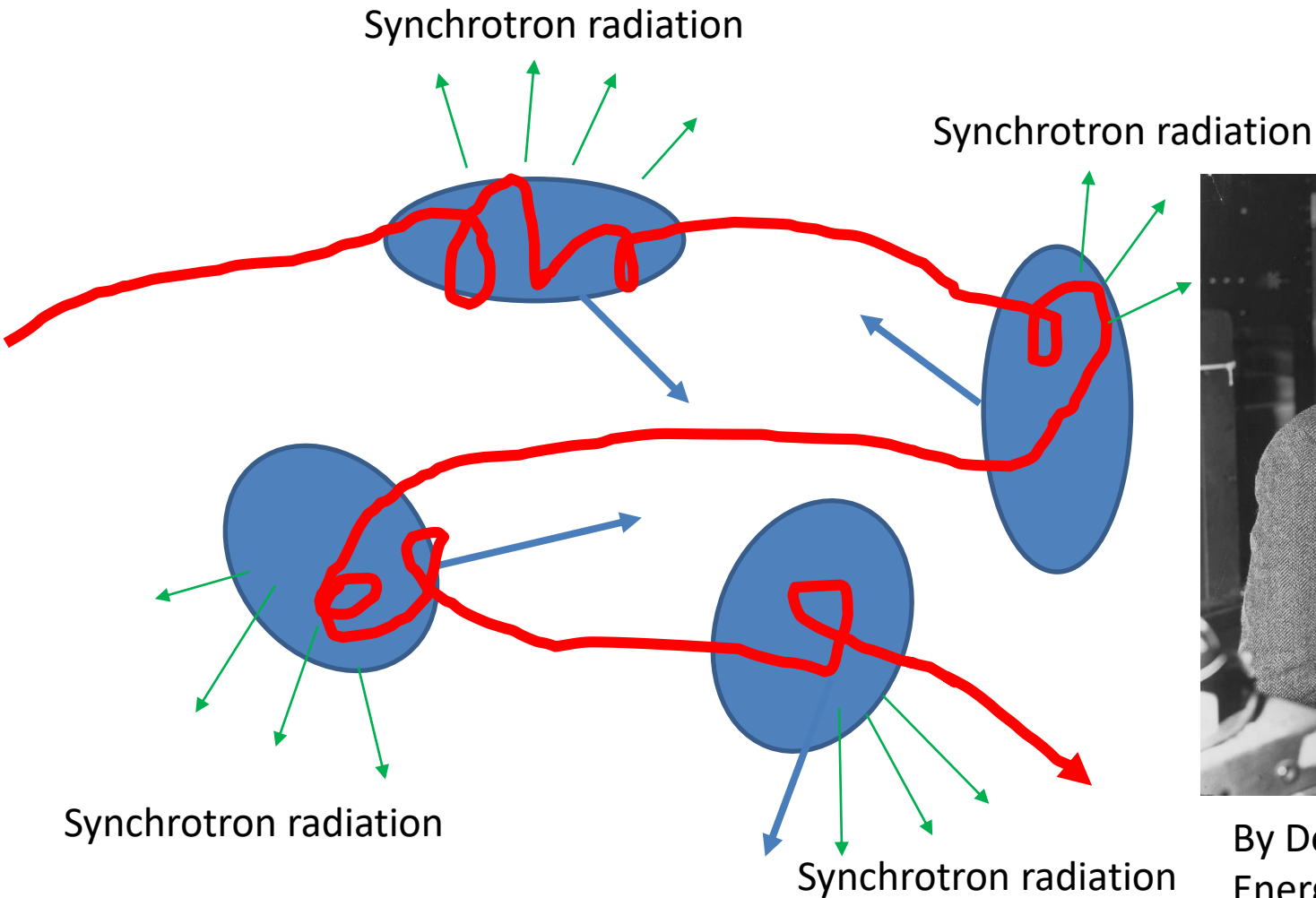
By Department of  
Energy. Office of Public  
Affairs

# Difficulties of Fermi acceleration in UHECR $\sim 10^{20}$ eV

1. Bending is inevitable  
→synchrotron loss

# Fermi mechanism

requires bending  $\rightarrow$  synchrotron loss



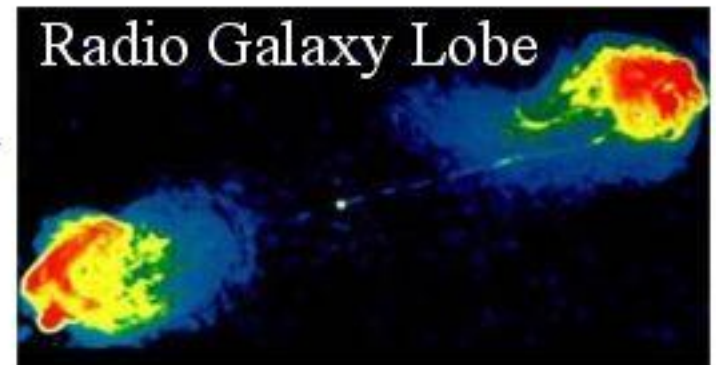
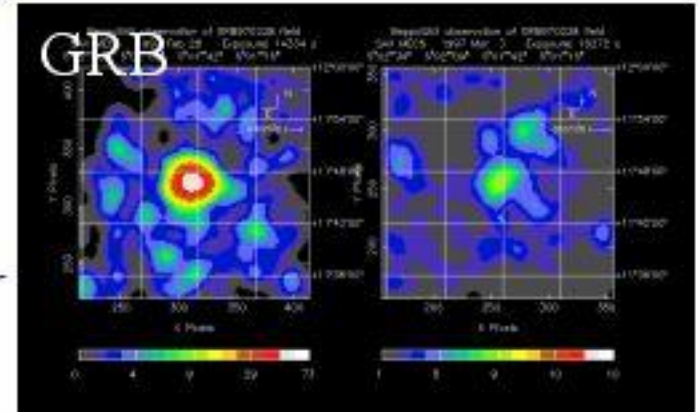
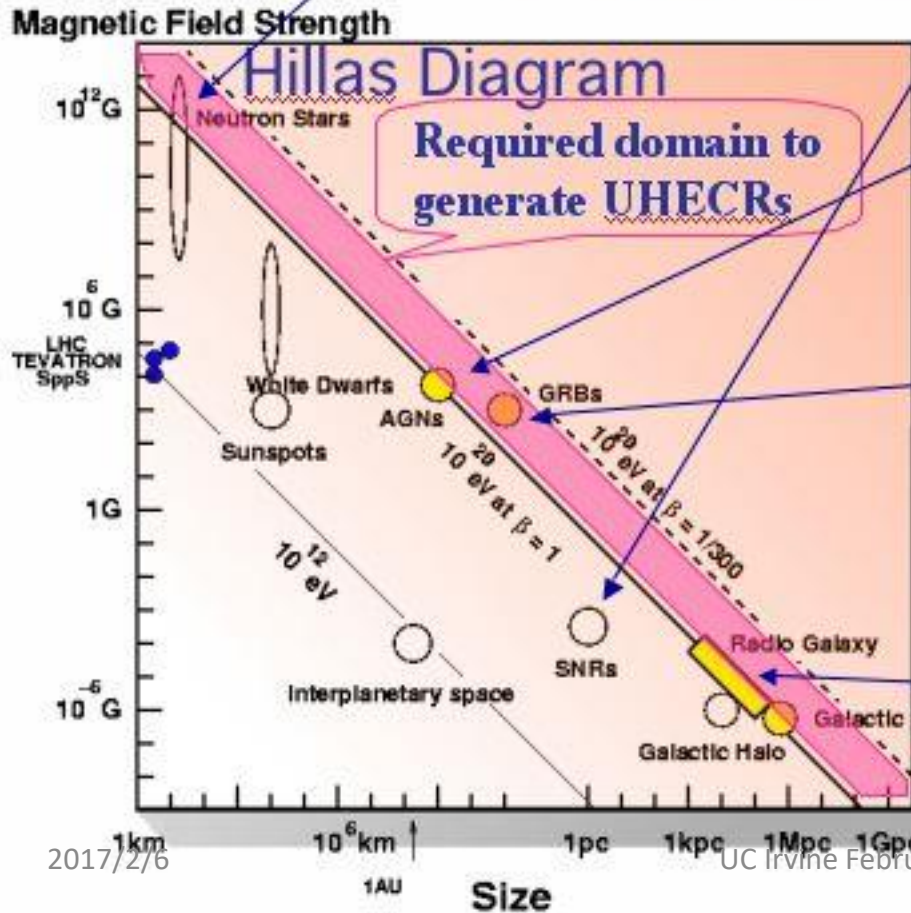
By Department of Energy. Office of Public Affairs

# Difficulties of Fermi acceleration in UHECR

1. Bending is inevitable  
→synchrotron loss
2. Confinement is difficult  
→no acceleration



# Theoretical Upper limit of Fermi mech. $< 10^{20}$ eV



# Difficulties of Fermi acceleration in UHECR

1. Bending is inevitable
  - synchrotron loss
2. Confinement is difficult
  - no acceleration
3. Escape problem
  - magnetic field does not disappear without  
adiabatic loss

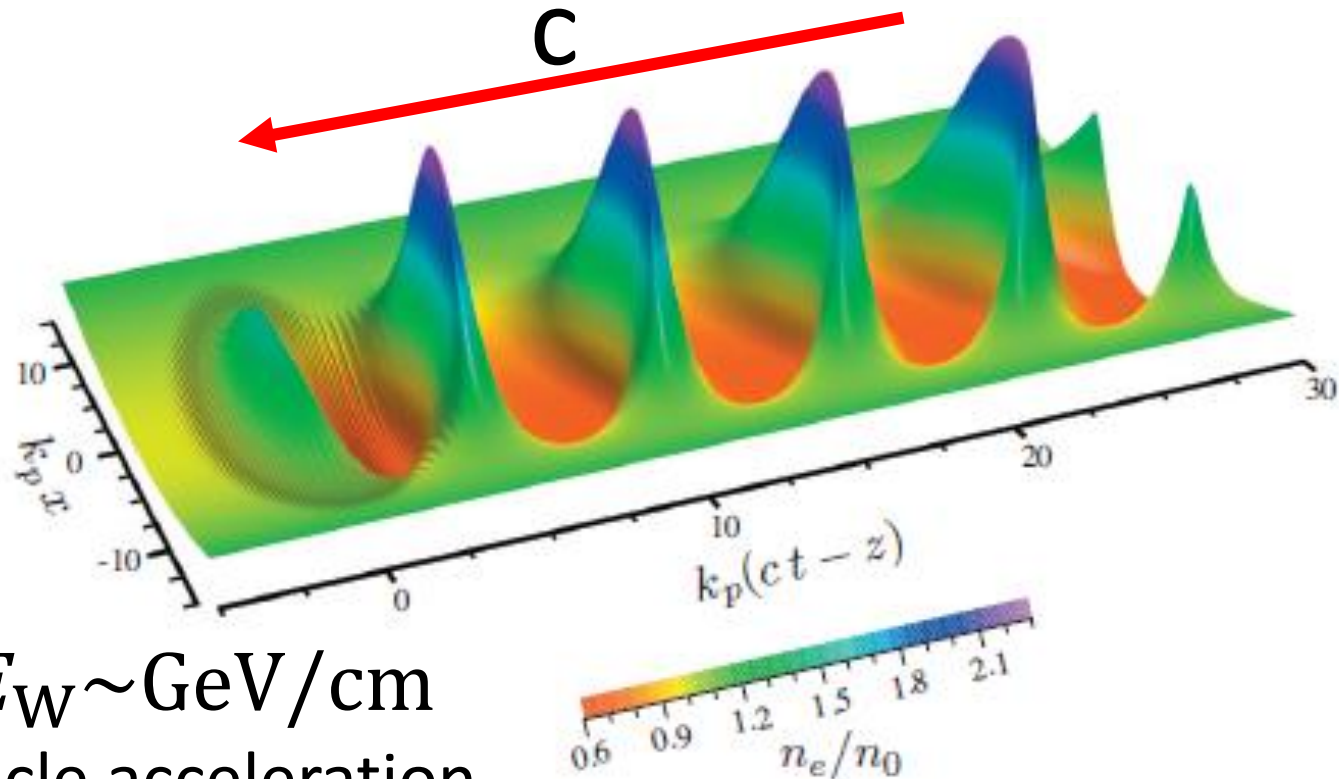
**Wakefield acceleration**



# Wake of a ship



# Laser Wakefield

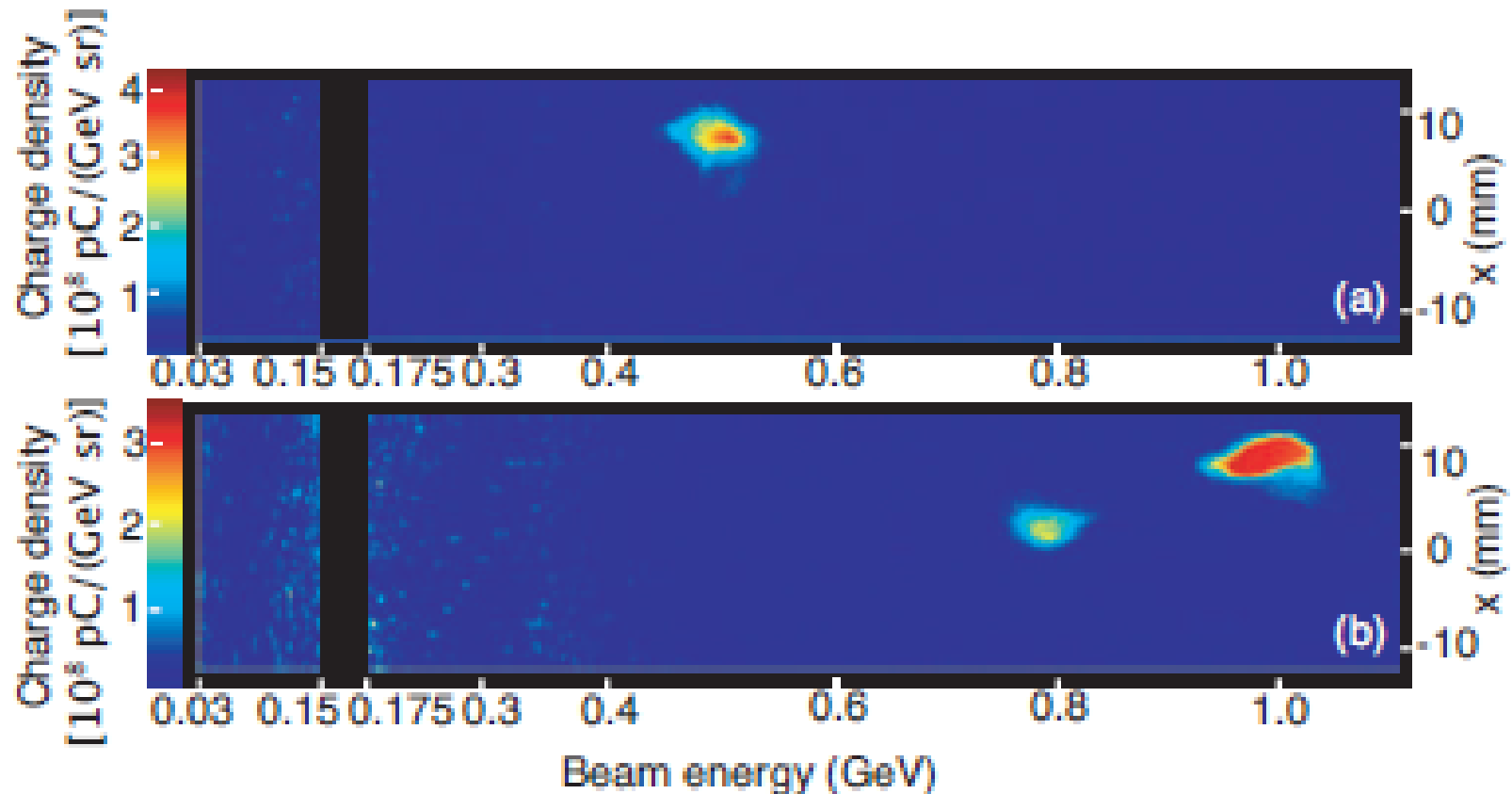


$E_W \sim \text{GeV/cm}$   
Particle acceleration

T. Tajima and J. M. Dawson (1979)

FIG. 2. (Color) Plasma density perturbation excited by Gaussian laser pulse with  $a_0=1.5$ ,  $k_0/k_p=20$ ,  $k_p L_{\text{rms}}=1$ , and  $k_p r_0=8$ . Laser pulse is traveling to the left.

# Electron bunch by a single shot of laser beam



Leemans et al. (2006) Nature Physics, 2, 696.

Nakamura et al. (2007) Phys. Plasma, 14, 056078

# Linear Acceleration with an Accreting Blackhole

- (Super-) massive blackholes
  - Central Engines of Active Galactic Nuclei:
    - Radio Galaxies/Blazars:  $10^8$ - $10^9$  solar mass
    - Seyfert Galaxies:  $\sim 10^6$  solar mass
      - Center of Milky Way G.:  $4 \times 10^6$  solar mass BH
    - Starburst Galaxies:
      - $\sim 10^{2-5}$  solar mass=Intermediate mass BH in young clusters
      - Ultra Luminous X-ray Sources
- Accretion disk:
  - Strong Alfven wave emitter
- Jet:
  - Relativistic Flow  $\Gamma=10$ -30



# Vir A=M87

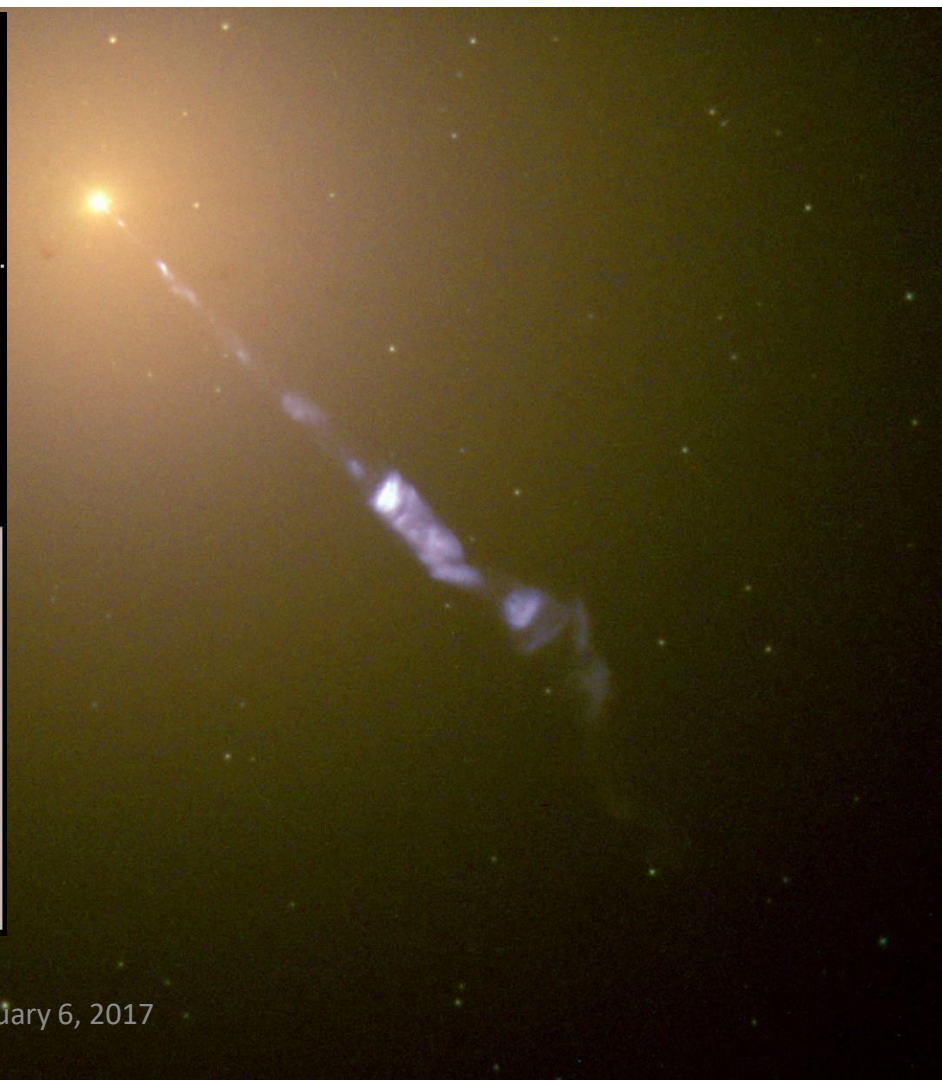
M87 (おとめ座銀河団の中にある巨大楕円銀河)



この銀河は、ブラックホールに伴う現象とされているが、中心部から噴き出している明瞭なジェットがあり、強い電波を放射している。

ジェットを表現するため、中心部だけを拡大し、異なる処理を施した画像を右下に示す。

口径50cmカセグレン式反射望遠鏡 (F12)  
液体窒素式冷却CCDカメラ (Astromed 3200 シーダ)  
露出時間: 5分×8, フィルタ: Iバンド  
擬似カラー処理

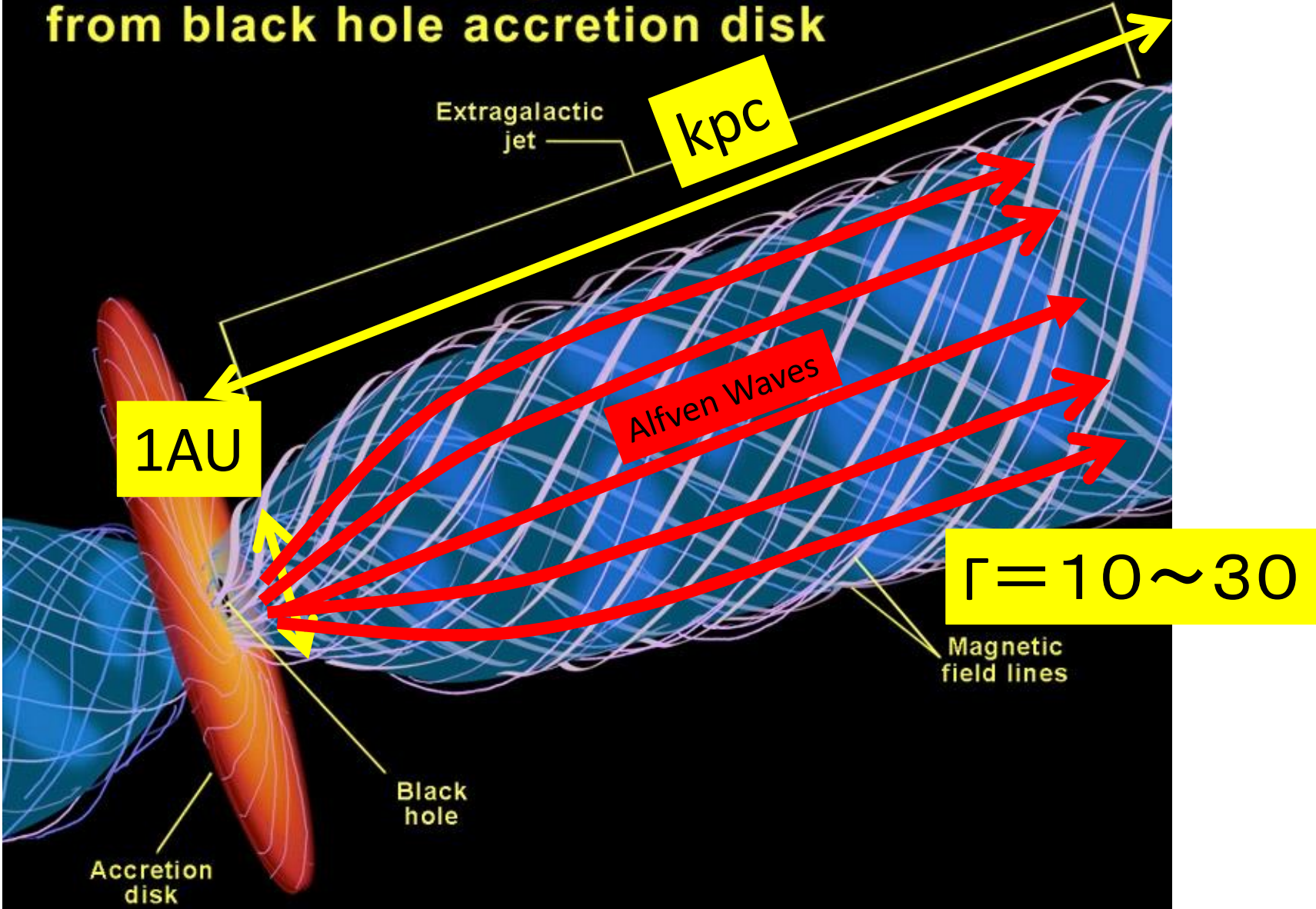


Mar. 4, 1996, 21h02m~21h51m (JST)

H. Fukushima

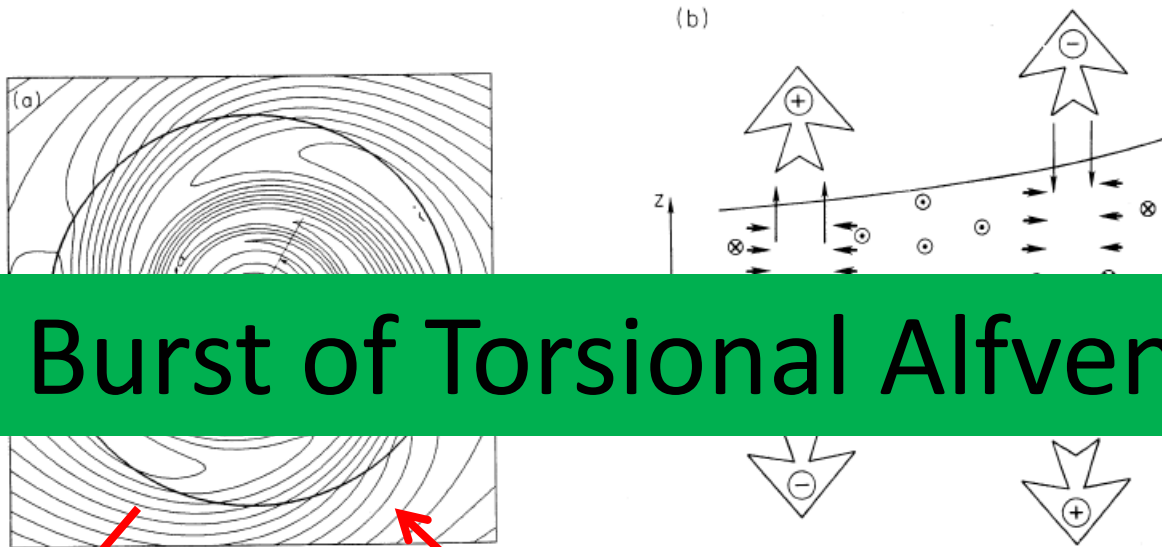
国立天文台 天文情報公開センター  
広報普及室

# Formation of extragalactic jets from black hole accretion disk

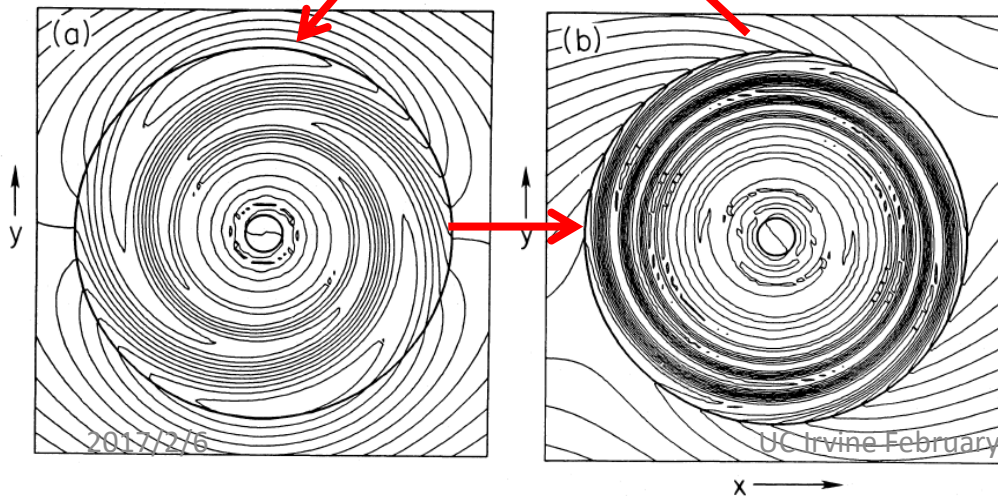




# Eruption of magnetic field in an accretion disk



## A Burst of Torsional Alfvén Waves



Tajima and Gilden 1987, ApJ 320, 741-745  
Haswell, Tajima, and Sakai, 1992, ApJ, 401,  
495-507



# Alfven Burst

Estimated at  $10R_g$

- Rise time

$$\tau_A = (Z_D/C_{SD})(\Omega/A)$$

- Recurrence time

$$1/\nu_A = Z_D/(\eta V_{AD})$$

- Energy Flux in a burst

$$\Phi_{AJ} = \Phi_{AD} = V_{AD} B_D^2 / 4\pi$$

- Total energy of a burst

$$E_B = (B_D^2 / 4\pi) \pi (10R_g)^2$$

# Accretion Disk around a BH

$m=10^8$

$$a_0 = eE/mc\omega_A = 9.7 \times 10^{10}$$

$$E_B = 1.6 \times 10^{48} \text{ erg}$$

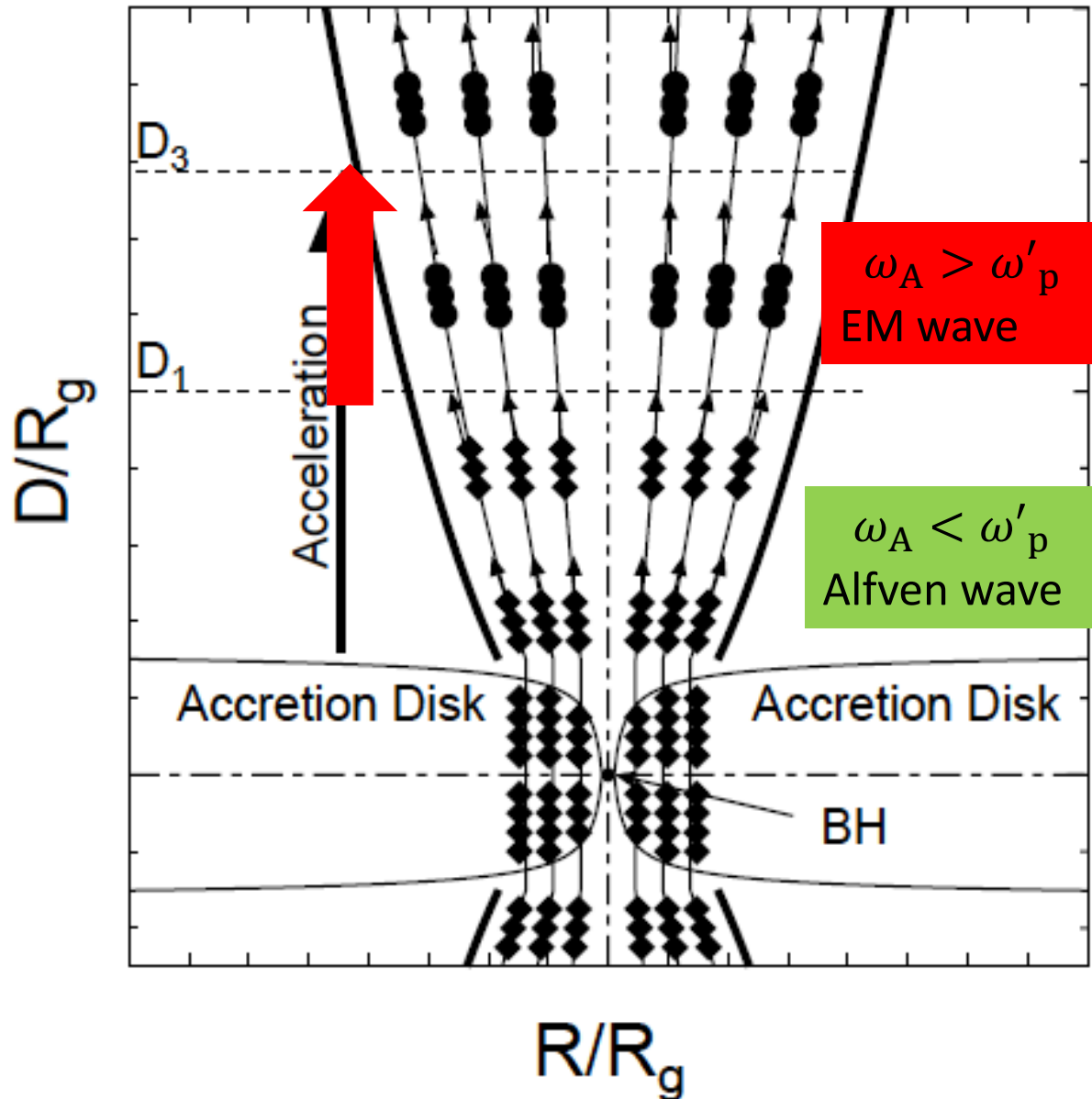
$$\omega_A = 3.2 \times 10^{-2} \text{ Hz}$$

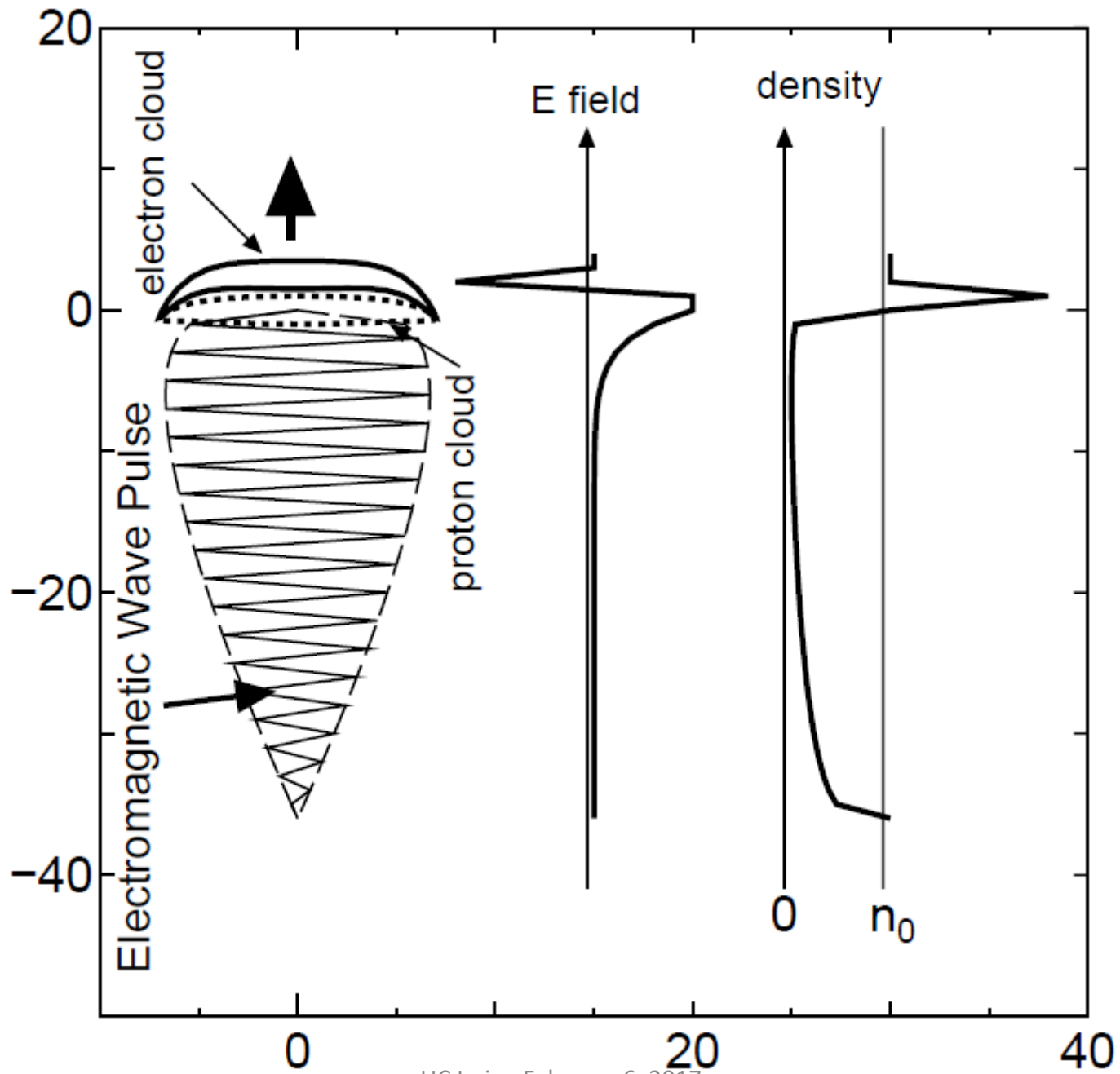
Accretion disk emits intense Alfvén bursts

$\sim \text{AU}$



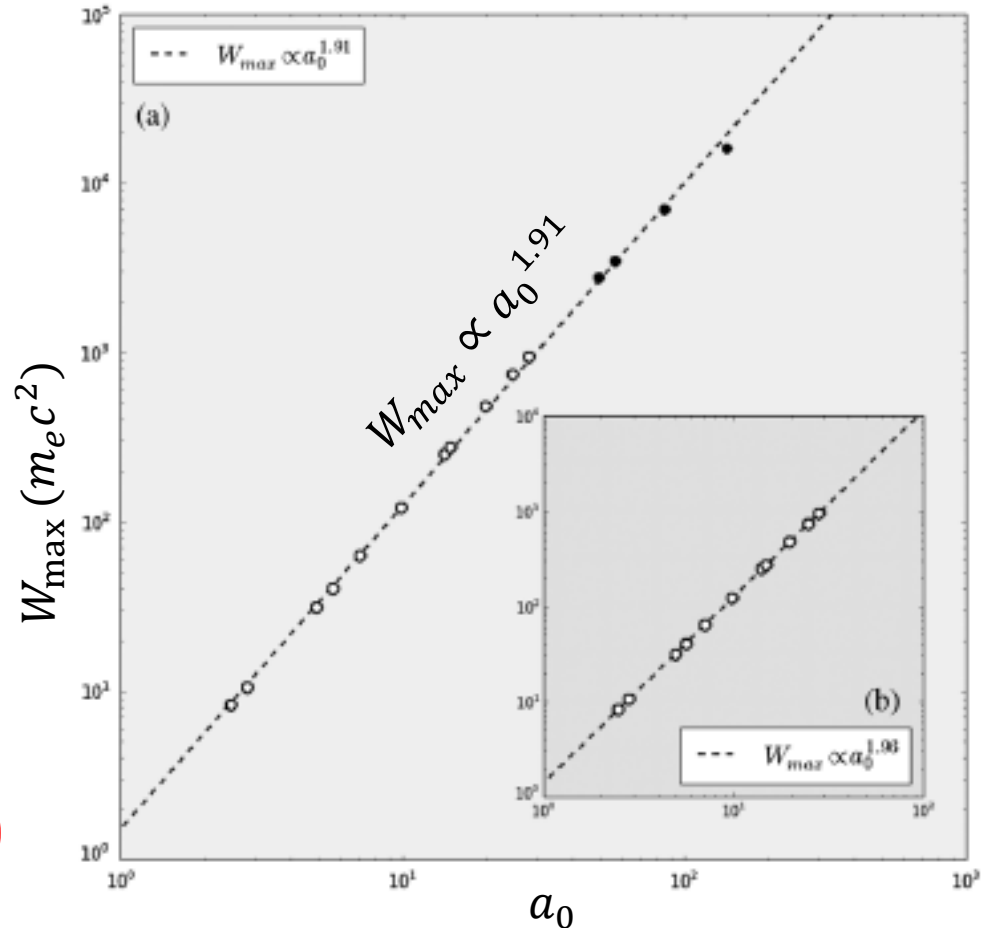
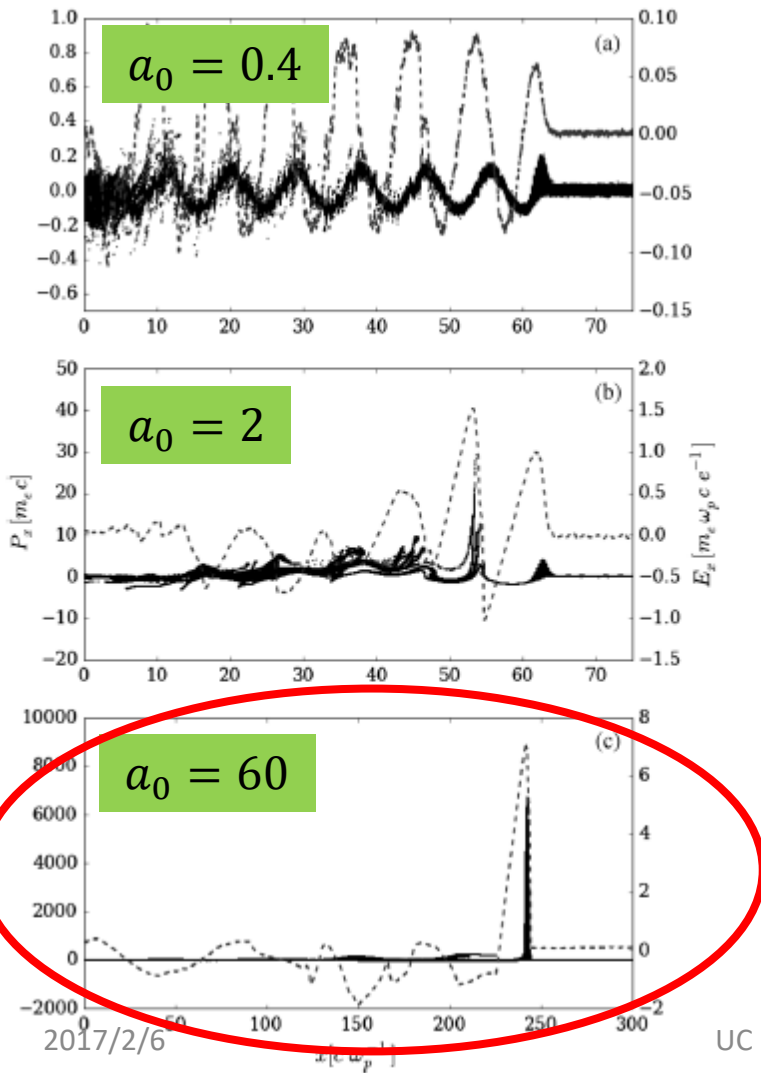
# Jet





# 1D Particle-in-Cell simulation

with the code by Nagata2008



# Acceleration by pondermotive force

$$W_{\max} = z \int_0^{D_3} F_{\text{pm}} dD$$

$$F_{\text{pm}} = \Gamma m_e c a \omega_A$$

# ZeV Accelerator

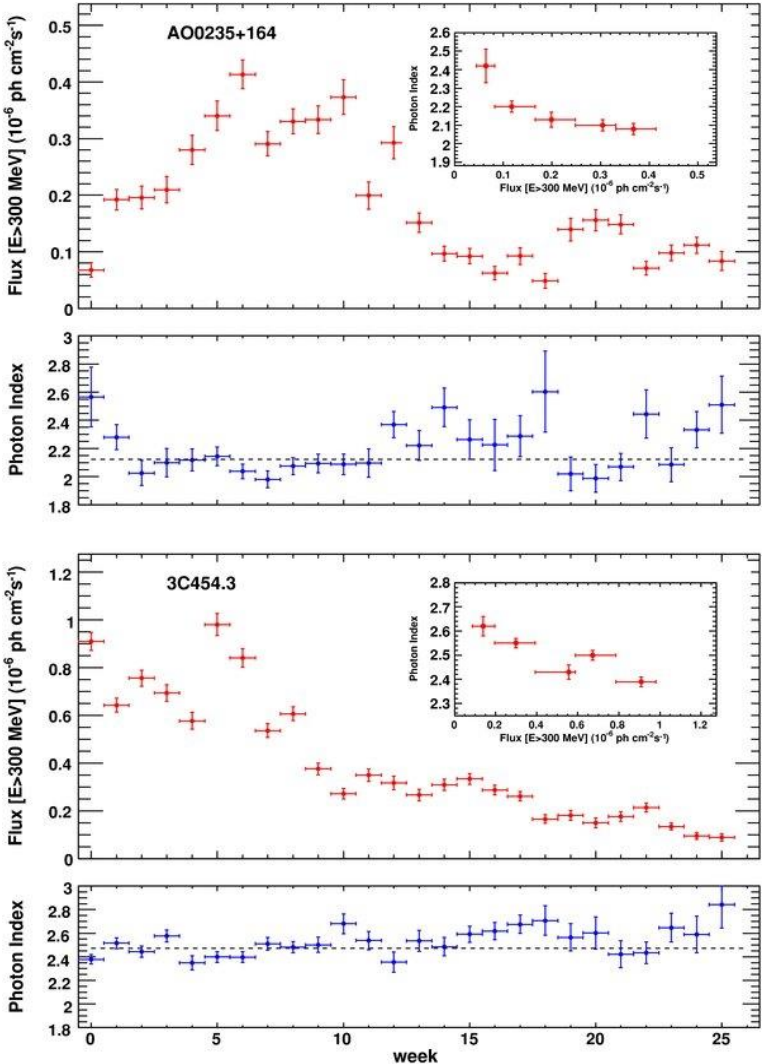
$$m = 10^8, \dot{m} = 0.1, \alpha = 0.1$$

$2\pi/\omega_A$	$2.0 \times 10^2 \text{ s}$
$1/v_A$	$1.0 \times 10^6 \text{ s}$
$D_3/c$	$1.2 \times 10^9 \text{ s}$
$W_{\text{max}}$	$2.9 \times 10^{22} \text{ eV}$
$L_{\text{tot}}$	$1.2 \times 10^{45} \text{ erg s}^{-1}$
$L_A$	$1.2 \times 10^{42} \text{ erg s}^{-1}$
$L_\gamma$	$1.2 \times 10^{41} \text{ erg s}^{-1}$
$L_{\text{UHECR}}$	$1.2 \times 10^{40} \text{ erg s}^{-1}$
$L_{\text{UHECR}}/L_{\text{tot}}$	$1.0 \times 10^{-5}$
$L_{\text{UHECR}}/L_\gamma$	$1.0 \times 10^{-1}$

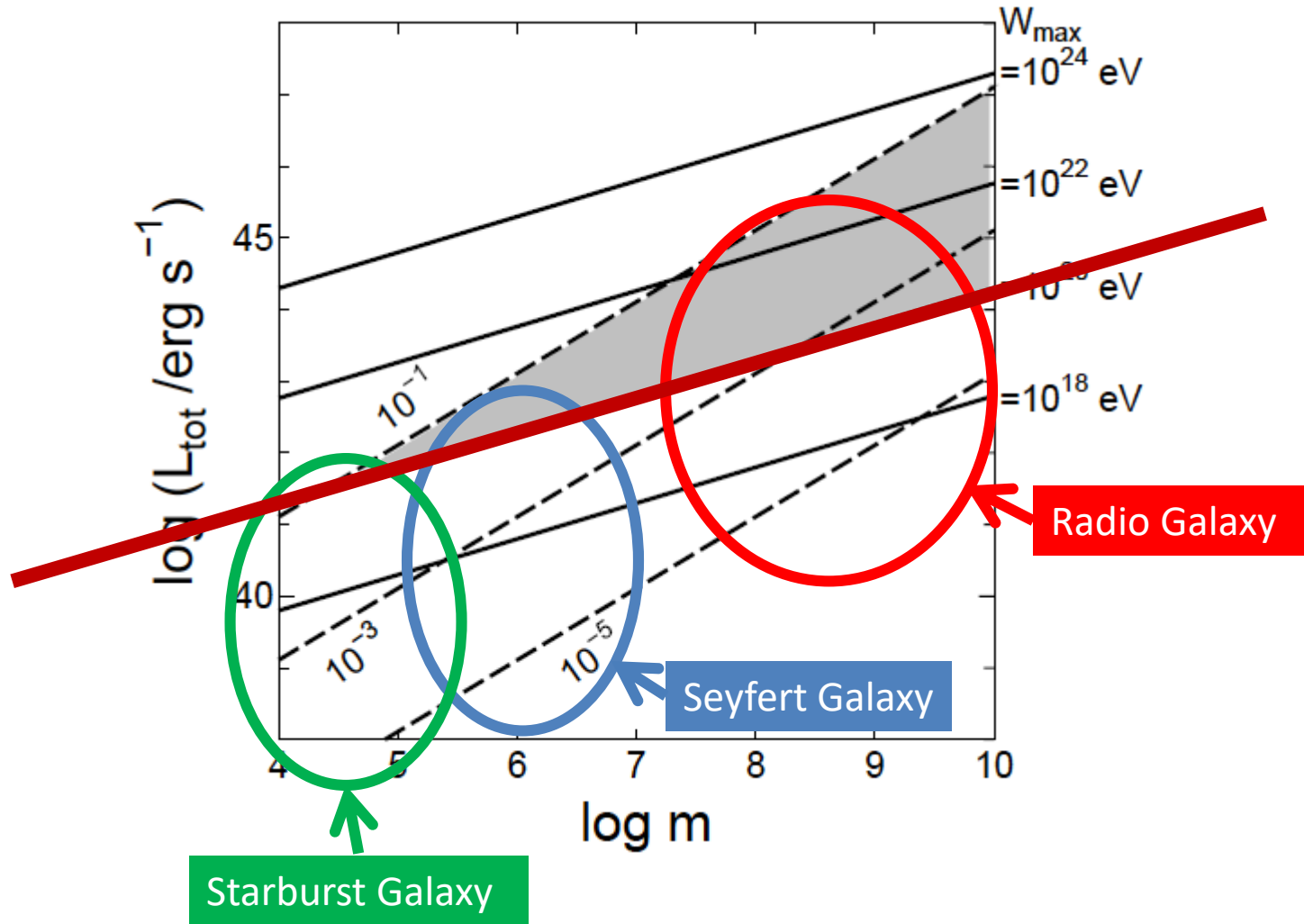


Figure 3 from Spectral Properties of Bright Fermi-Detected Blazars in the Gamma-Ray Band

A. A. Abdo et al. 2010 ApJ 710 1271 doi:10.1088/0004-637X/710/2/1271



# Conditions for UHECRs



$$L_{\text{tot}} = 1.3 \times 10^{38} m \dot{m} \text{ erg s}^{-1}$$

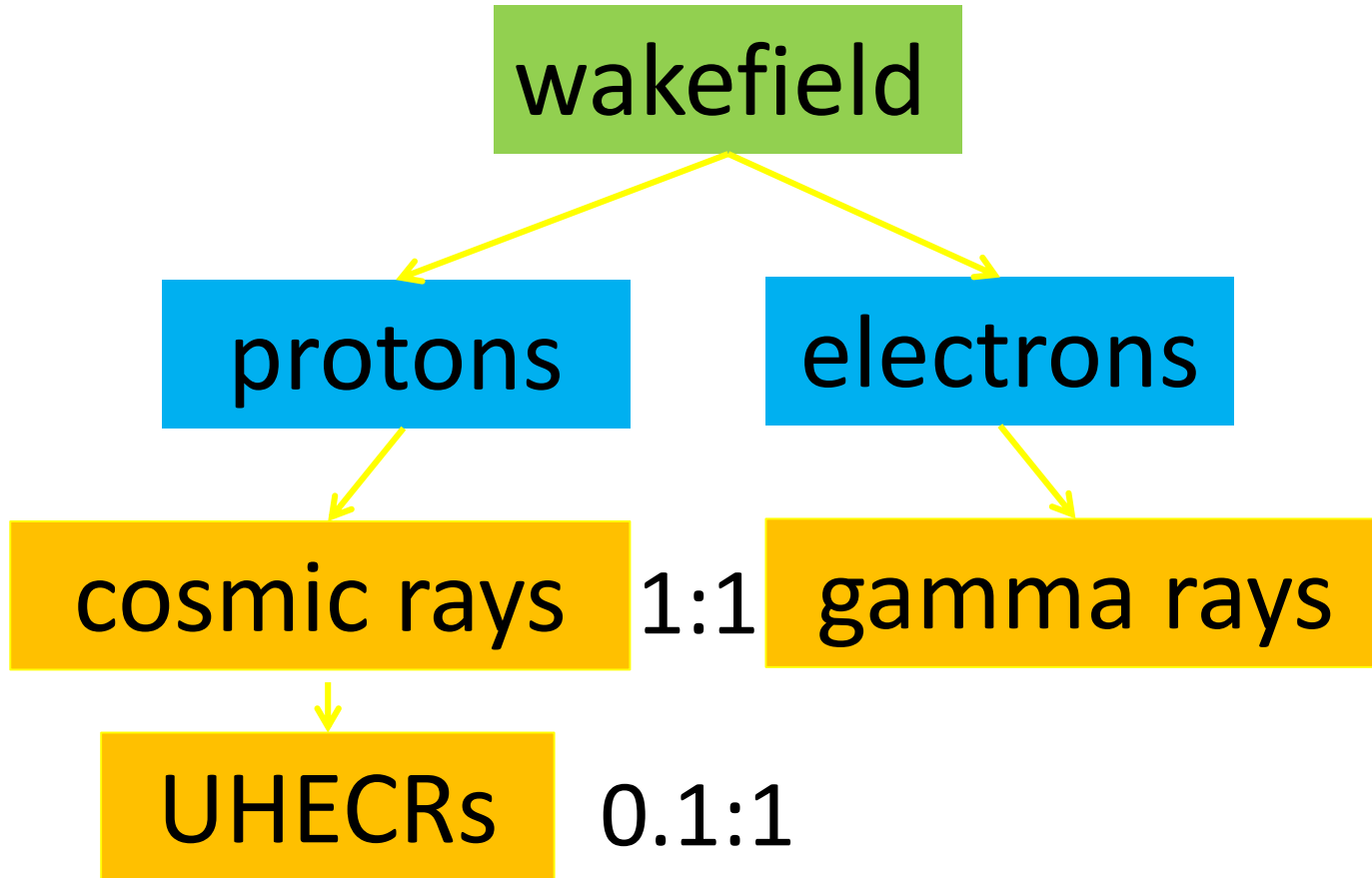
# Wakefield/pondermotive acceleration

1. No bending: linear acceleration
  - No synchrotron loss
2. No Confinement is necessary
  - just push
3. No escape problem
  - Wake will naturally disappear
4. Prediction: it must be gamma-ray sources

# Energy budget

- Total accretion energy 1.0
- Gravitational wave 0.01
- Radiation total 0.09
- Alfven wave 0.001
- Gamma-rays (electrons) 0.0001
- Cosmic rays total 0.0001
- UHECRs 0.00001

# Energy Flow and Spectra

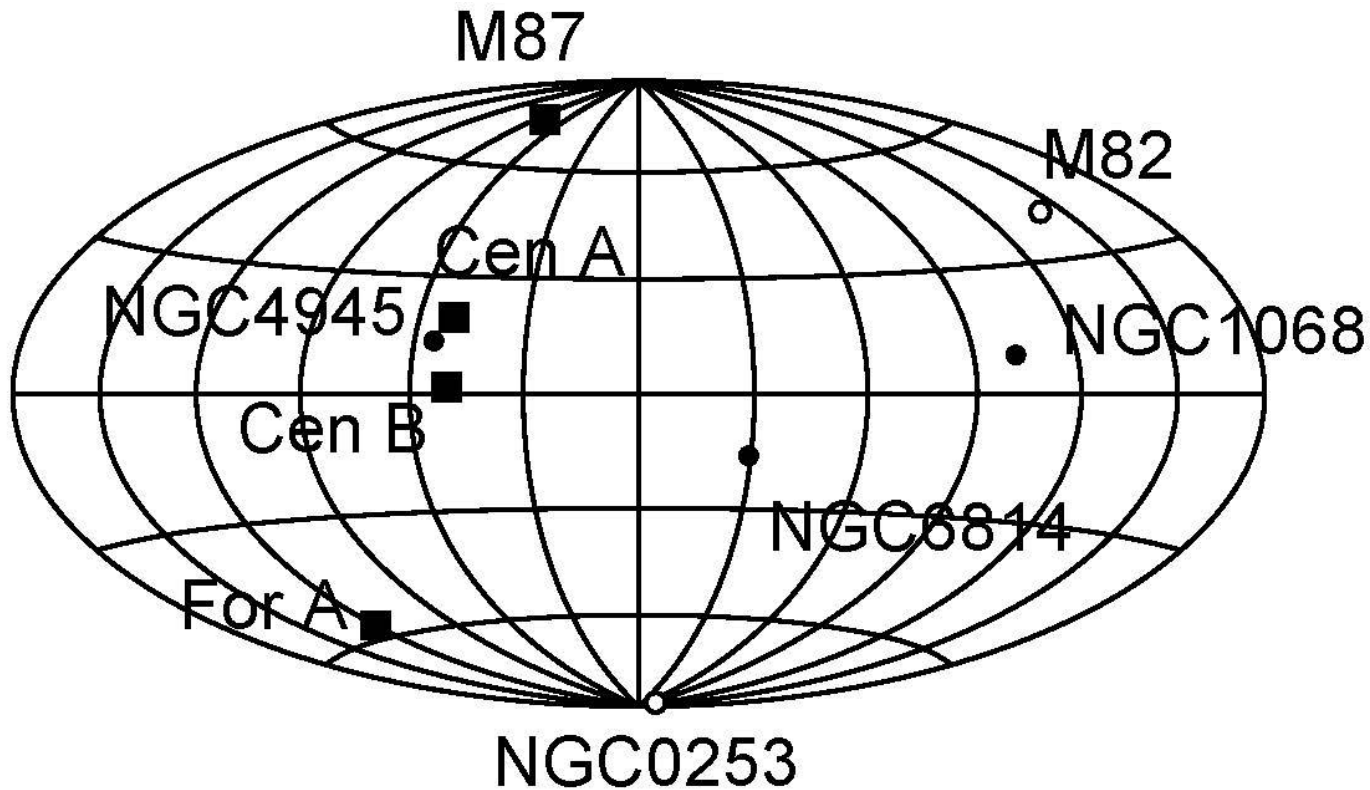


$$F(W) \propto W^{-2}$$

# Nine nearby Fermi AGNs

Counterpart name	LII	BII	Class	Redshift	Flux1GeV-100 GeV (erg cm <sup>-2</sup> s <sup>-1</sup> )	Spectral index	Radio flux(mJy)	X Flux (erg cm <sup>-2</sup> s <sup>-1</sup> )
NGC 0253	97.39	-87.97	Starburst galaxy	0.001	(6.2+/-1.2) e-10	2.313	2994	6.02E-12
NGC 1068	172.1	-51.94	Seyfert galaxy	0.00419	(5.1+/-1.1) e-10	2.146	4849	4.55E-11
For A	240.15	-56.7	Radio Galaxy	0.005	(5.3+/-1.2) e-10	2.158	255	2.38E-12
M 82	141.41	40.56	Starburst galaxy	0.001236	(10.2+/-1.3) e-10	2.28	6205	2.29E-11
M 87	283.78	74.48	Radio Galaxy	0.0036	(17.3+/-1.8) e-10	2.174	138488	6.30E-11
Cen A Core	309.51	19.41	Radio Galaxy	0.00183	(30.3+/-2.4) e-10	2.763	42000	9.00E-12
NGC 4945	305.27	13.33	Seyfert galaxy	0.002	(7.5+/-1.7) e-10	2.103	5776	2.36E-12
Cen B	309.72	1.72	Radio Galaxy	0.012916	(18.6+/-3.5) e-10	2.325	8890	8.83E-12
NGC 6814	29.35	-16.02	Seyfert galaxy	0.0052	(6.8+/-1.6) e-10	2.544	52	1.56E-11

# Fermi gamma-ray galaxies (Nearby)



- Radio Galaxy
- Seyfert Galaxy
- Starburst Galaxy

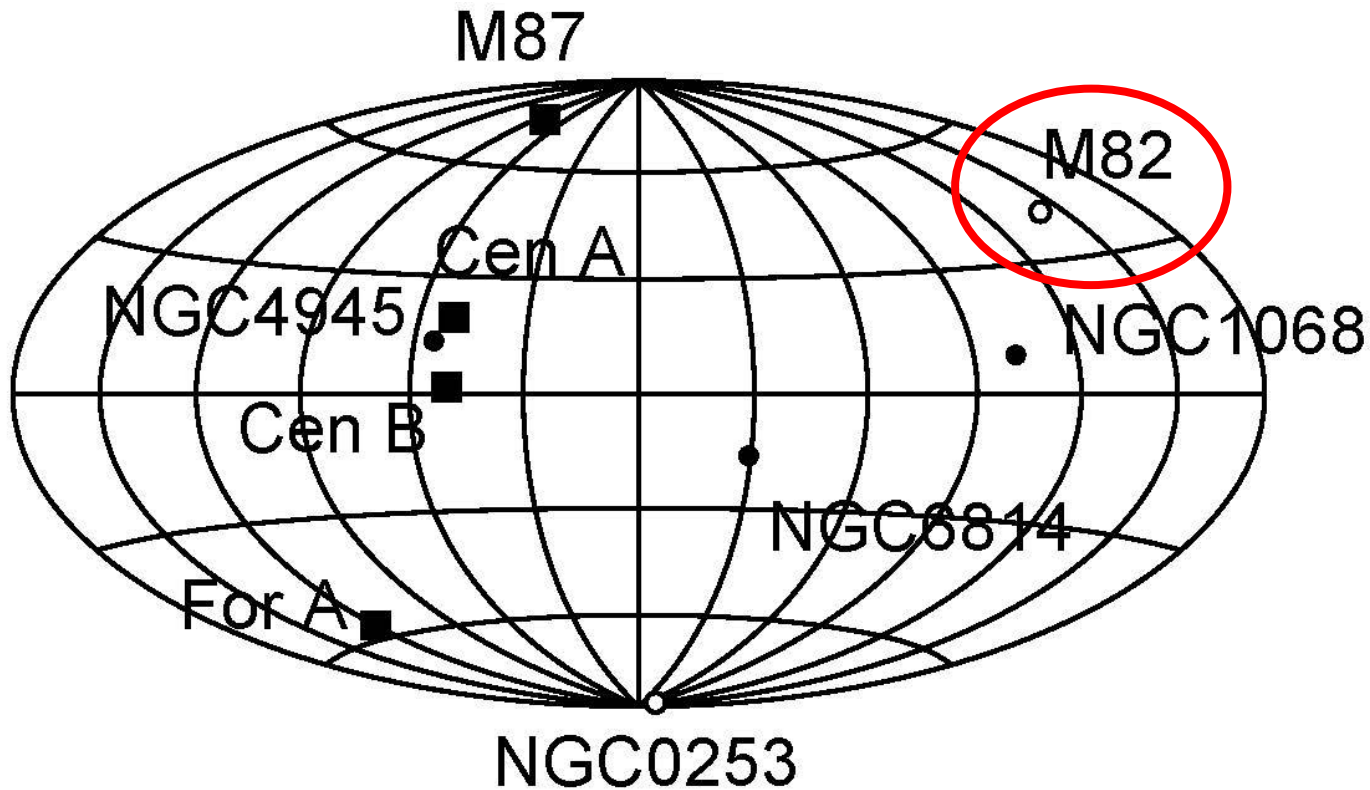
Ebisuzaki and Tajima 2014, Eur. Phys. J.  
Special Topics, 223, 1113-1120.



# Wakefield/pondermotive acceleration

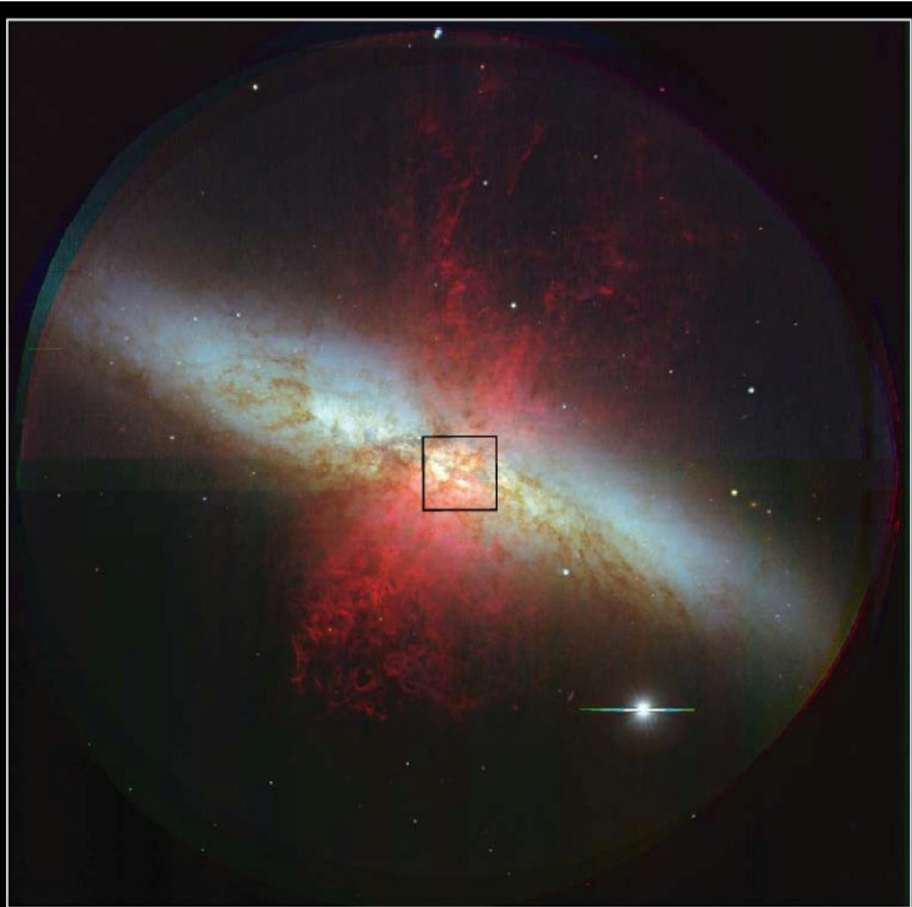
1. No bending: linear acceleration
  - No synchrotron loss
2. No Confinement is necessary
  - just push
3. No escape problem
  - Wake will naturally disappear
4. Prediction: it must be gamma-ray source **YES**
5. How about coherence?

# Fermi gamma-ray galaxies (Nearby)



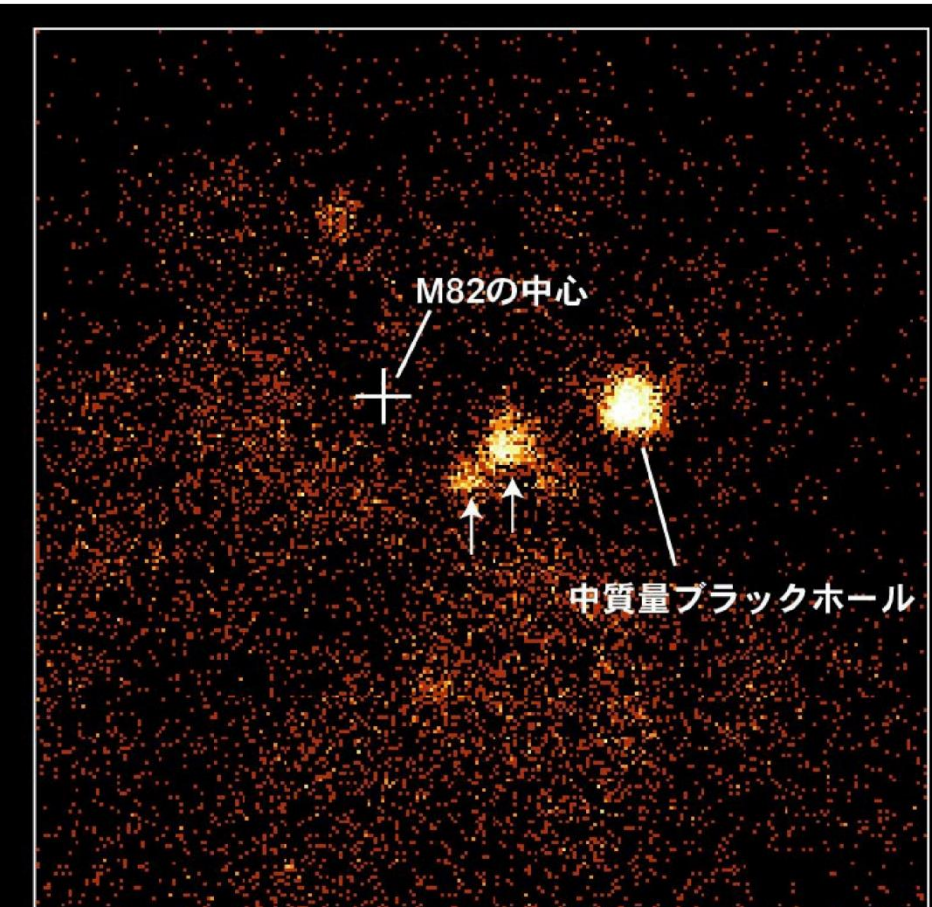
- Radio Galaxy
- Seyfert Galaxy
- Starburst Galaxy

Ebisuzaki and Tajima 2014, Eur. Phys. J.  
Special Topics, 223, 1113-1120.




**M 82 (NGC 3034)** FOCAS (B, V, H $\alpha$ )  
 Subaru Telescope, National Astronomical Observatory of Japan March 24, 2000  
Copyright © 2000 National Astronomical Observatory of Japan, all rights reserved

すばる望遠鏡に取りつけた微光天体分光撮像装置FOCASで得られたおおぐま座の不規則銀河M82の写真(国立天文台提供)。スターバースト現象に伴う大量の超新星爆発によって高温に電離されたガスが、銀河から放出されている様子がH $\alpha$ 輝線として観測されている(写真の赤い部分)。四角で囲んだ領域は、右図に対応する部分である。

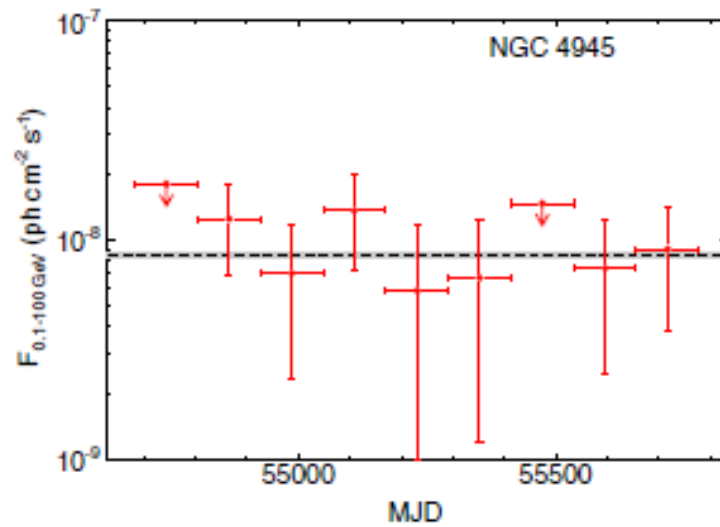
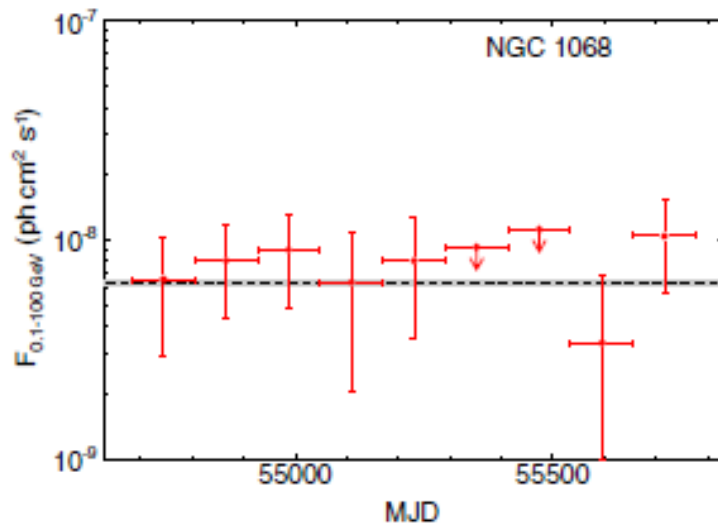
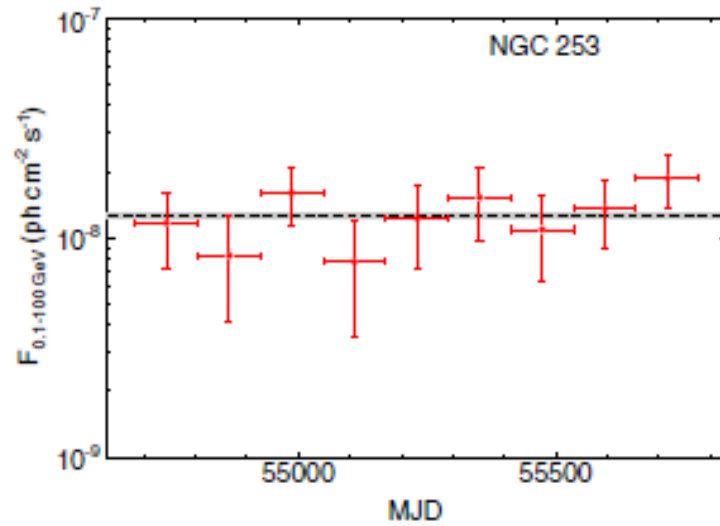
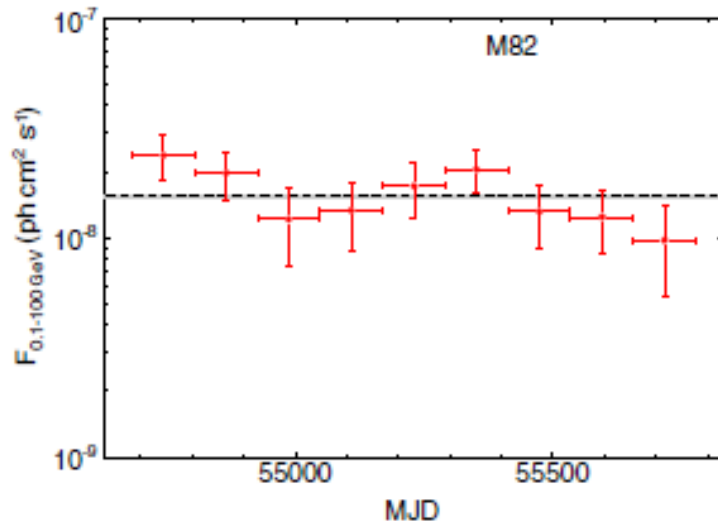



**M82 (NGC3034)**  
 HRC, Chandra X-ray Observatory  
 Cosmic Ray Group, Kyoto University, September 13, 2000

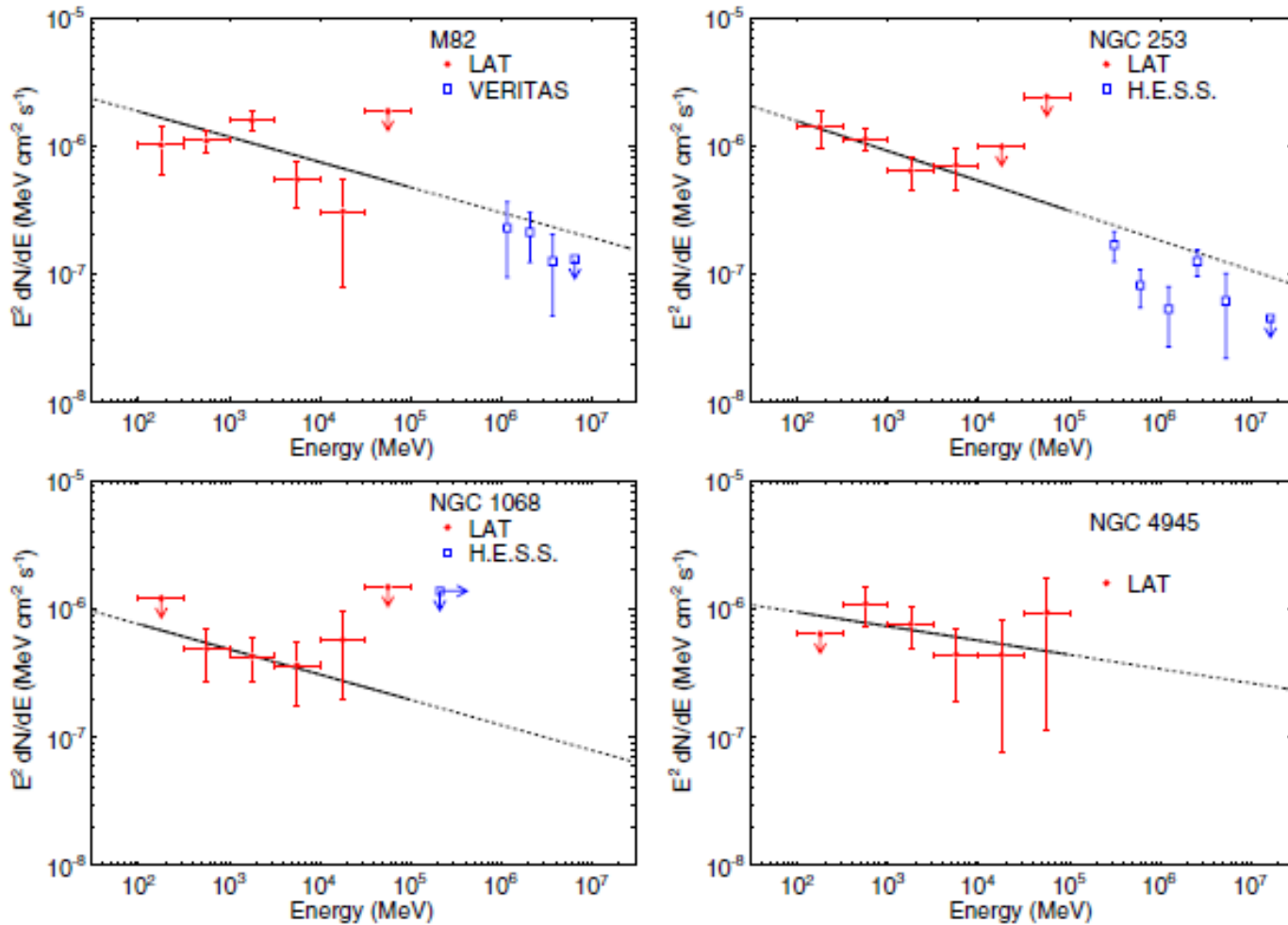
アメリカのX線天文衛星チャンドラを用いて私達が撮影したM82の中心領域(左図の四角で囲まれた領域)のX線写真。最も明るく光っているX線星が、今回新たに発見した中質量ブラックホールである。矢印は同時に発見したやや小型のブラックホールを示している。M82の中心はX線で非常に暗いこと、中質量ブラックホールはM82の中心から外れていることに注意。M82の中心から中質量ブラックホールまでの距離は約500光年である。

図4: 爆発的形成銀河M82の可視光画像とX線画像

# Light Curves



# Energy Spectra





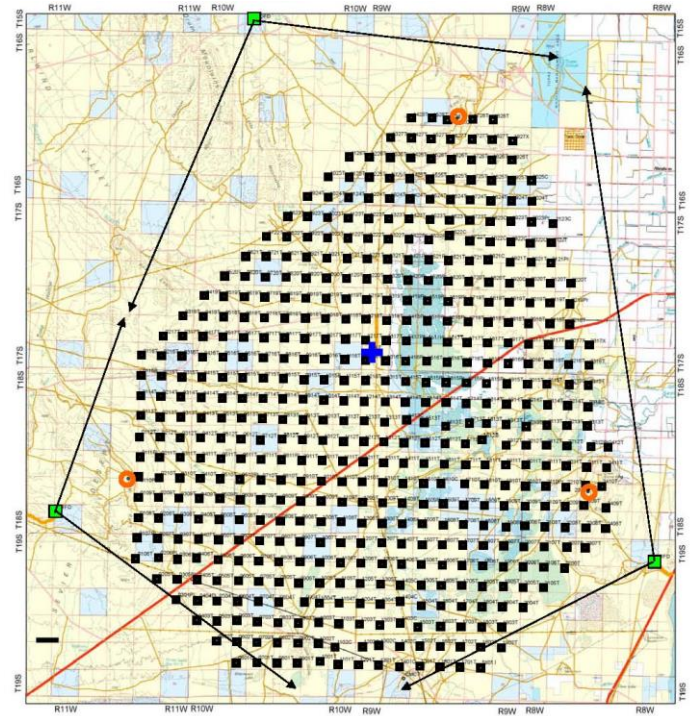
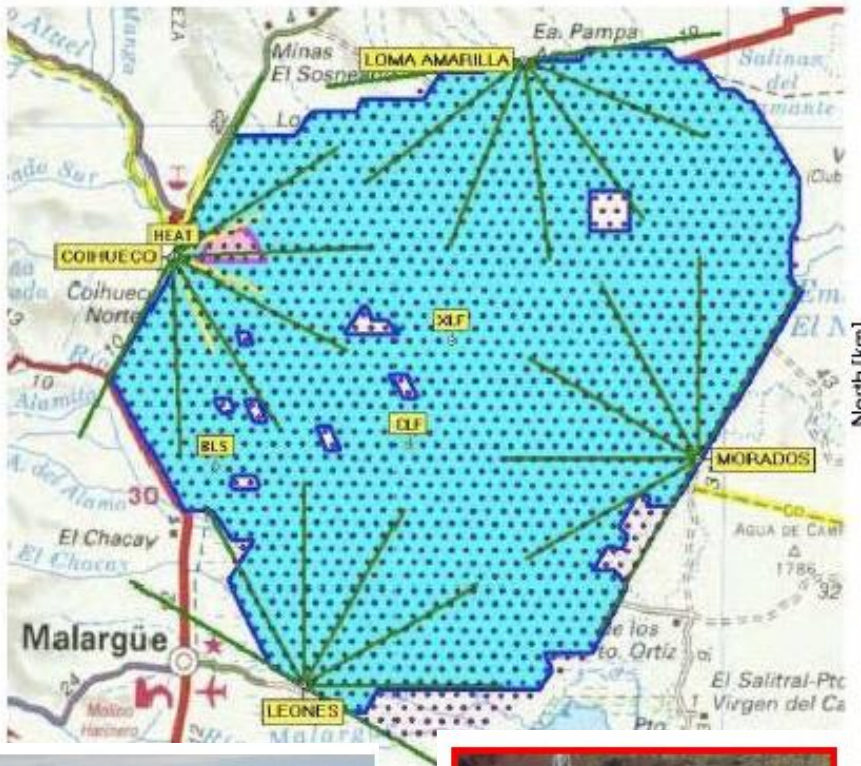
# Ground Based Observatories

**Auger**

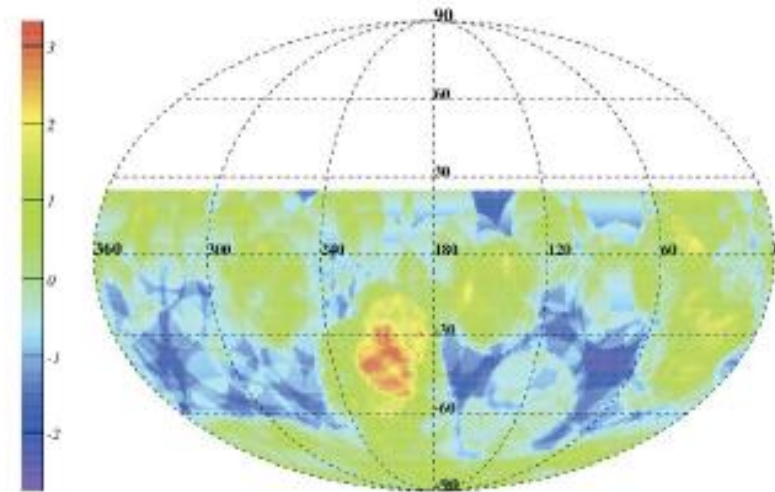
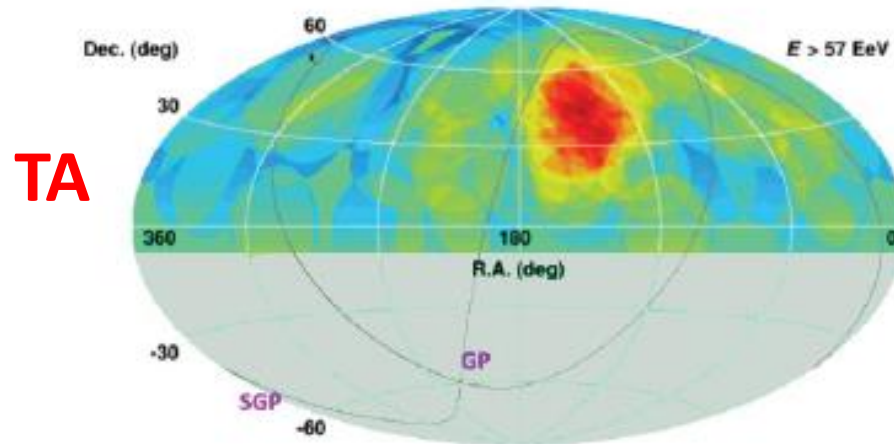
1600 surface detectors  
3000 km<sup>2</sup>

**TA**

507 surface detectors  
700 km<sup>2</sup>



# Arrival Direction Map (Auger/TA)

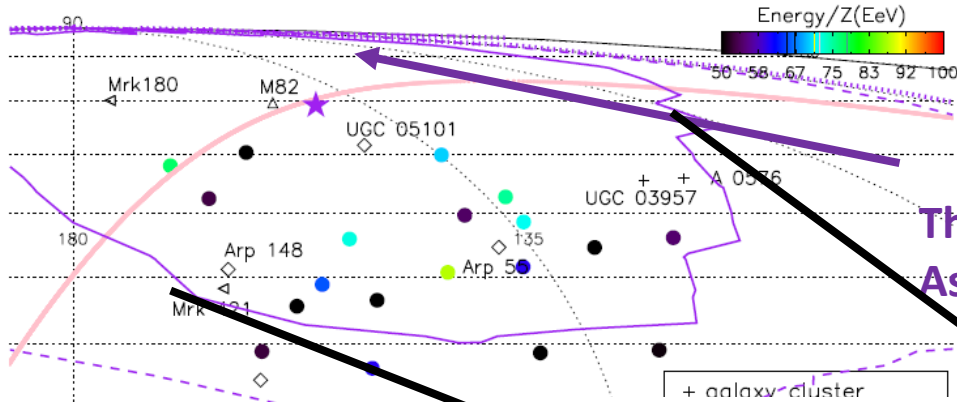


**Auger**



# TA Hot Spot: UHECRs from M82?

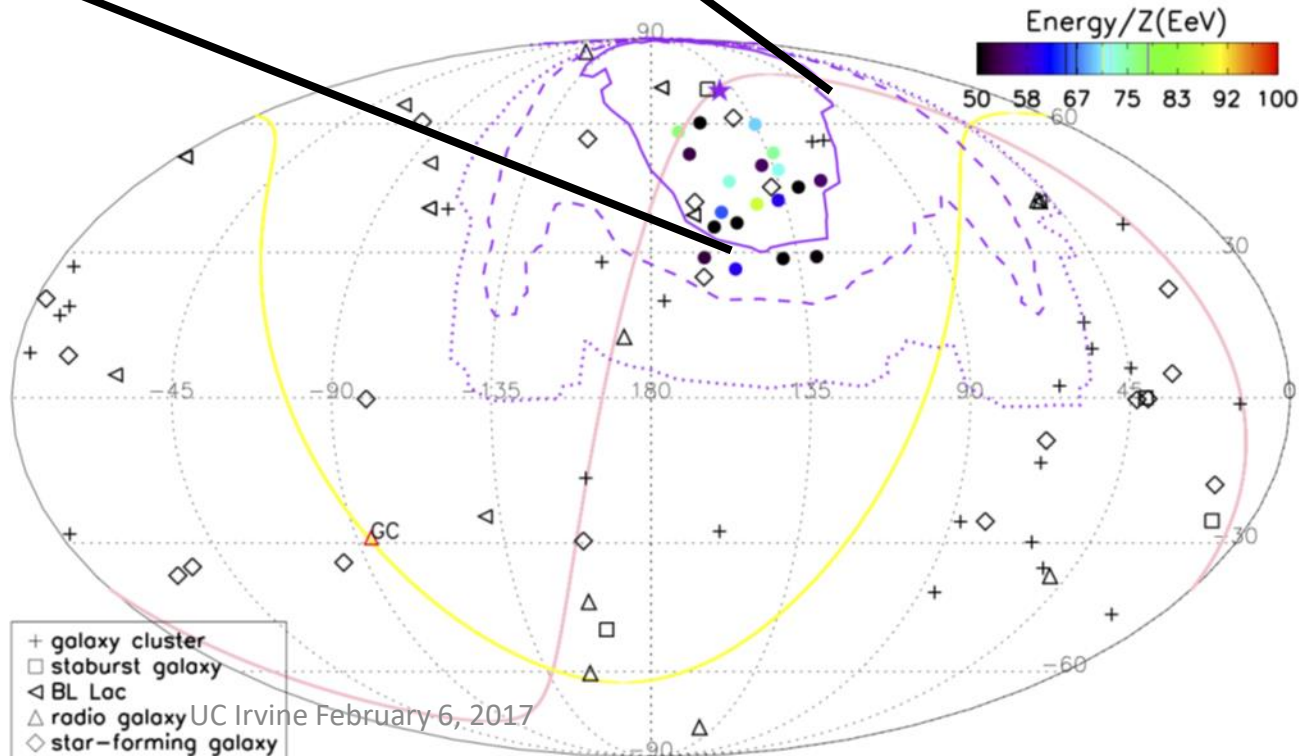
He, Kusenko, Nagataki + PRD 2016.



The most likely Source Position  
As a Result of Our Analysis.

M82 is very Close

Purple Lines are Source Position  
With 1,2,3-sigma Errors.



Source Name      Source Type

Source Name	Source Type
best-fit	-
M82	starburst galaxy
UGC 05101	star-forming galaxy
Mrk 180	blazar
UGC 03957	galaxy cluster
A 0576	galaxy cluster
Arp 55	star-forming galaxy
Arp 148	star-forming galaxy
Mrk 421	blazar

- + galaxy cluster
- starburst galaxy
- ◁ BL Lac
- △ radio galaxy
- ◇ star-forming galaxy

UC Irvine February 6, 2017

# M82 X-1 is promising

- $F_{\gamma\text{M82}} = 10.2 \times 10^{-10} \text{ erg s}^{-1} \text{ cm}^{-2} \rightarrow$

$$L_{\gamma\text{M82X-1}} = 1.3 \times 10^{34} \text{ W}$$

$\leftarrow$  10% of M82 total,  $d=3.2$  Mpc

$$L_{\text{UHECR M82X-1}} = 1.3 \times 10^{33} \text{ W}$$

$$\leftarrow \frac{L_{\text{UHECR}}}{L_{\gamma}} = 0.1$$

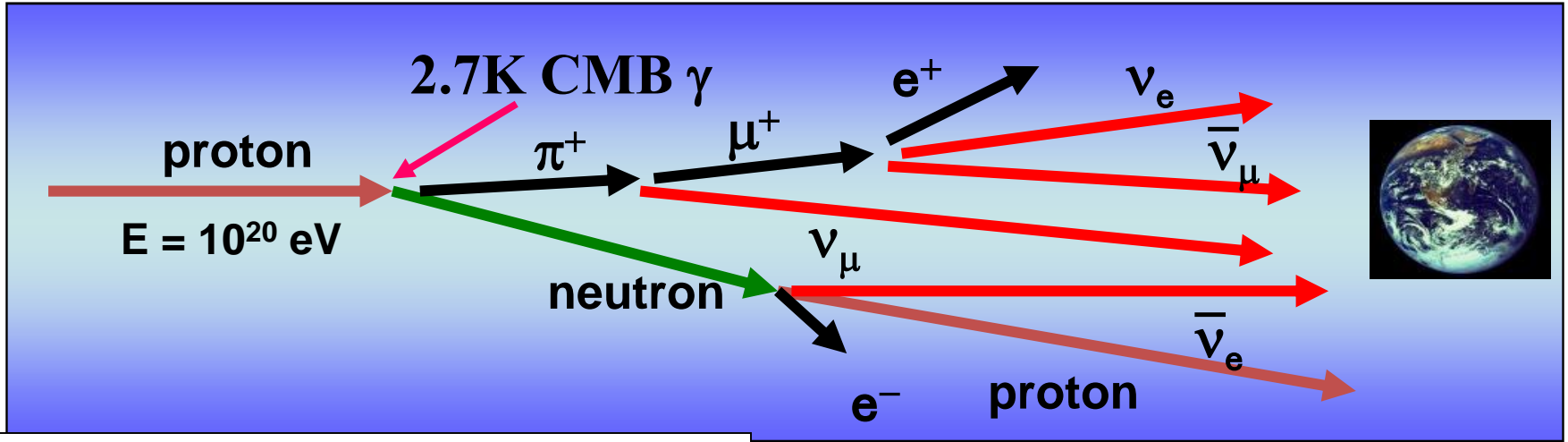
$$F_{\text{UHECR M82X-1}} \sim 2 \text{ UHECRs}/100\text{km}^2/\text{yr}$$

$$\sim F_{\text{HotSpot}}$$

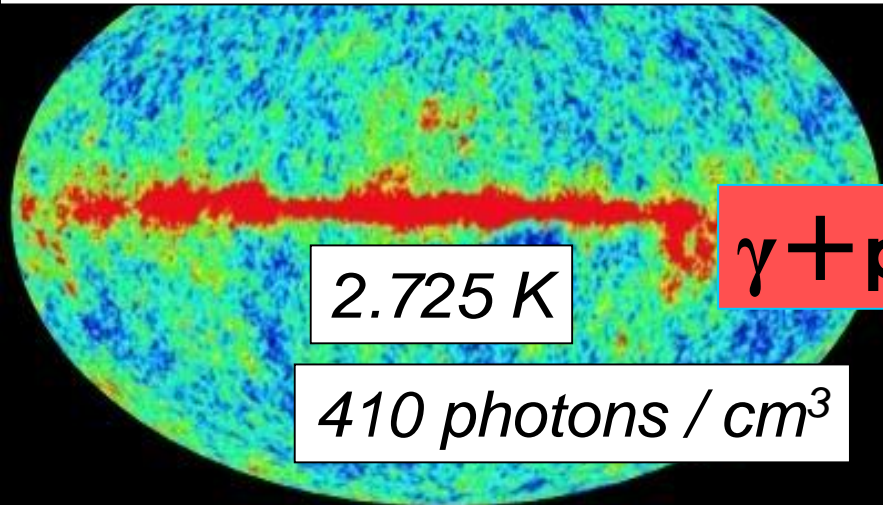
# How about neutrinos?

## Greisen-Zatsepin-Kuz'min Process

Greisen1966; Zatsepin and Kuz'min1966

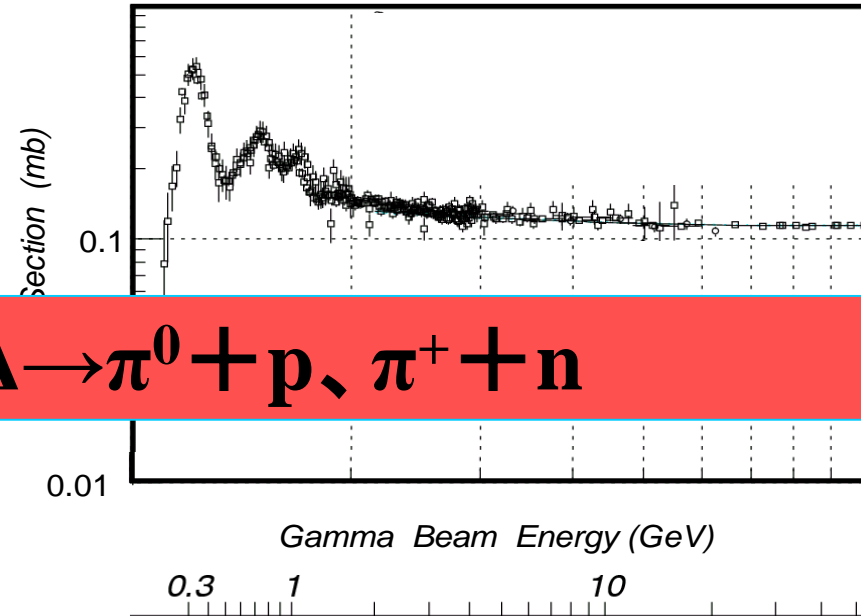


Microwave Cosmic Background Radiation

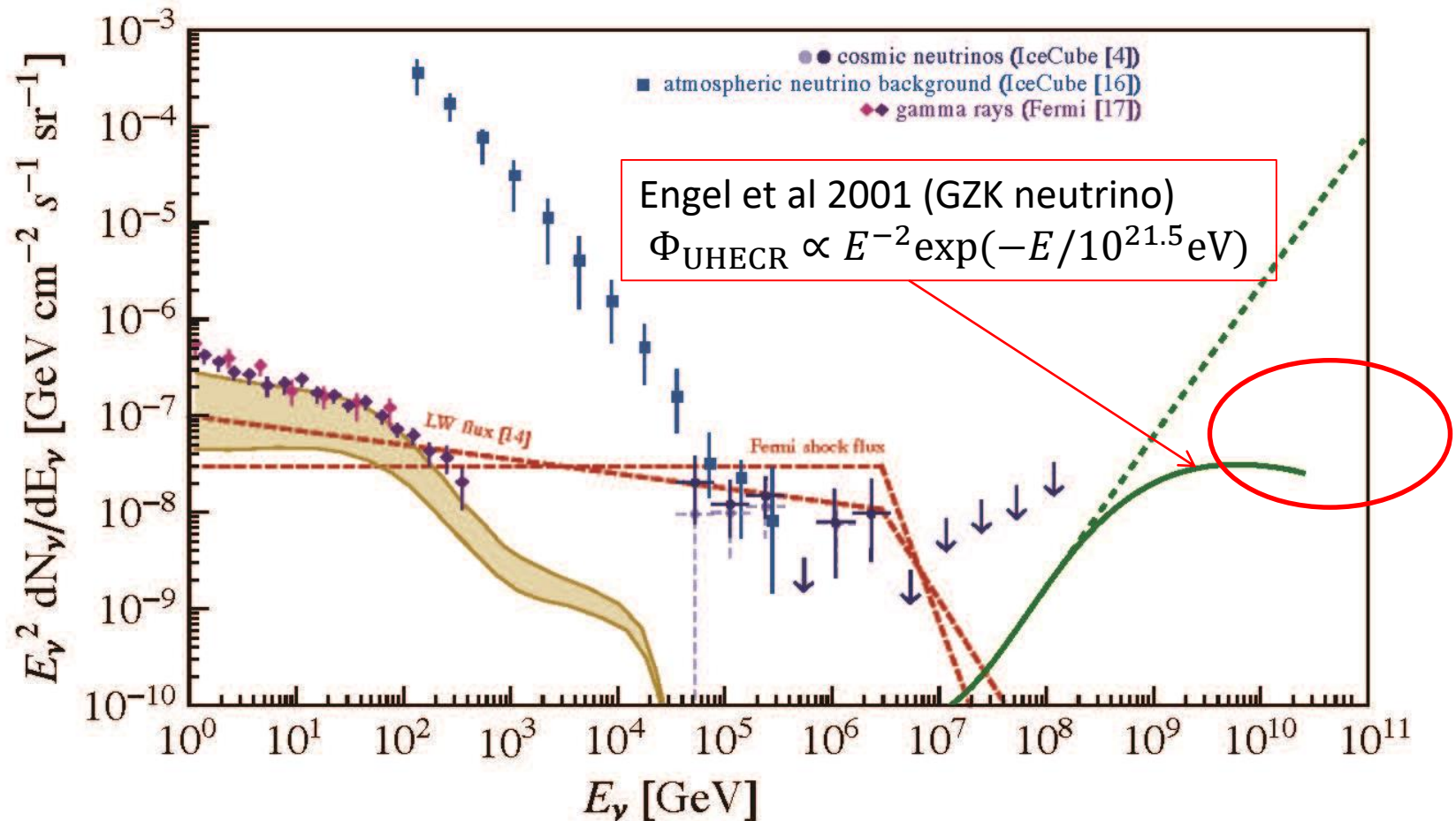


2.725 K

410 photons / cm<sup>3</sup>



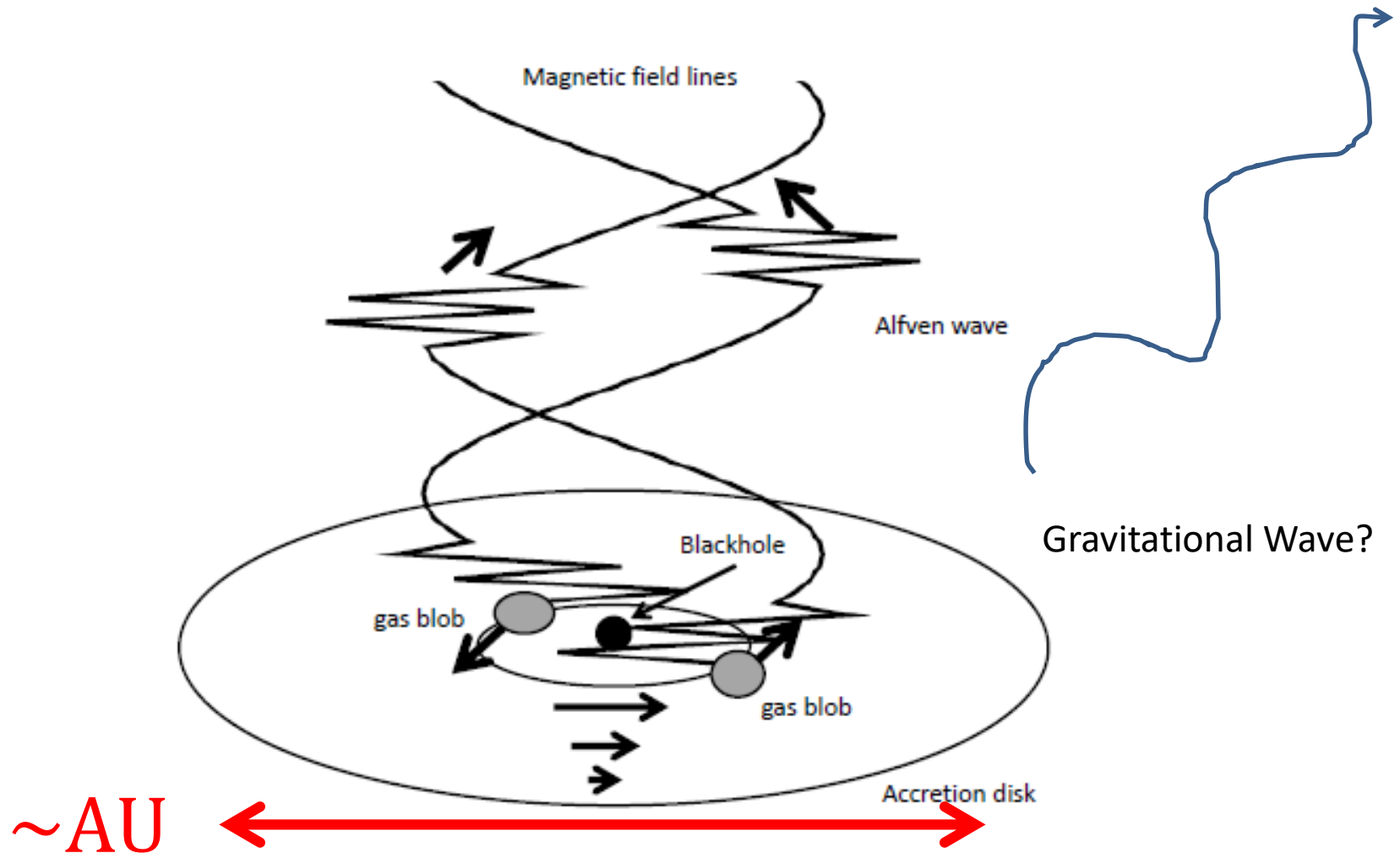
# Neutrino and gamma ray flux



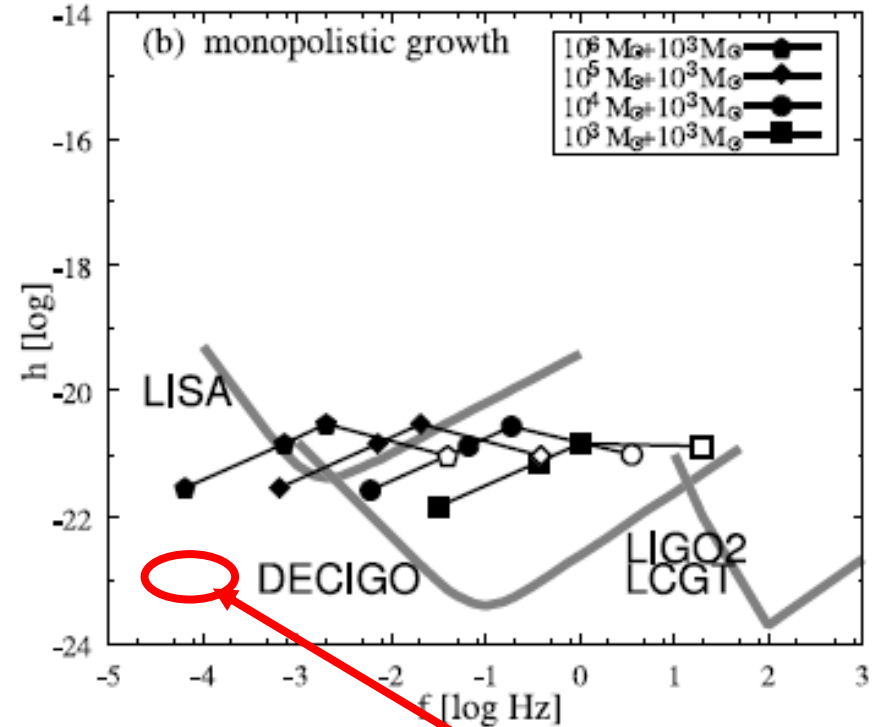
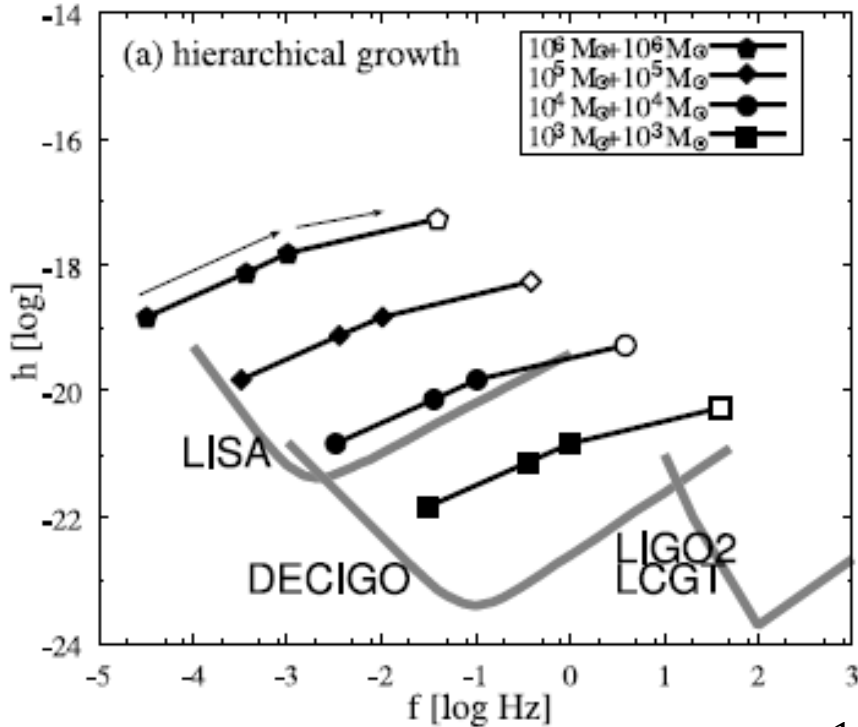
Taken from Anchordoqui et al. 2014, Phys. Rev. D., 89, 127304  
and Yacobi et al. 2016, Ap. J., 823, 89, modified by TE

# Accretion Disk around a BH

$$m=10^8$$



# How about Gravitational wave ?



$$h \sim 5.5 \times 10^{-21} \left( \frac{\epsilon}{0.01} \right) \left( \frac{R}{4 \text{Gpc}} \right)^{-1} \left( \frac{m}{\sqrt{2 \times 10^3 M_{\odot}}} \right)$$

$$m < 7.0 \times 10^{-10} \left( \frac{M_{\text{BH}}}{10^6 M_{\odot}} \right)^2$$

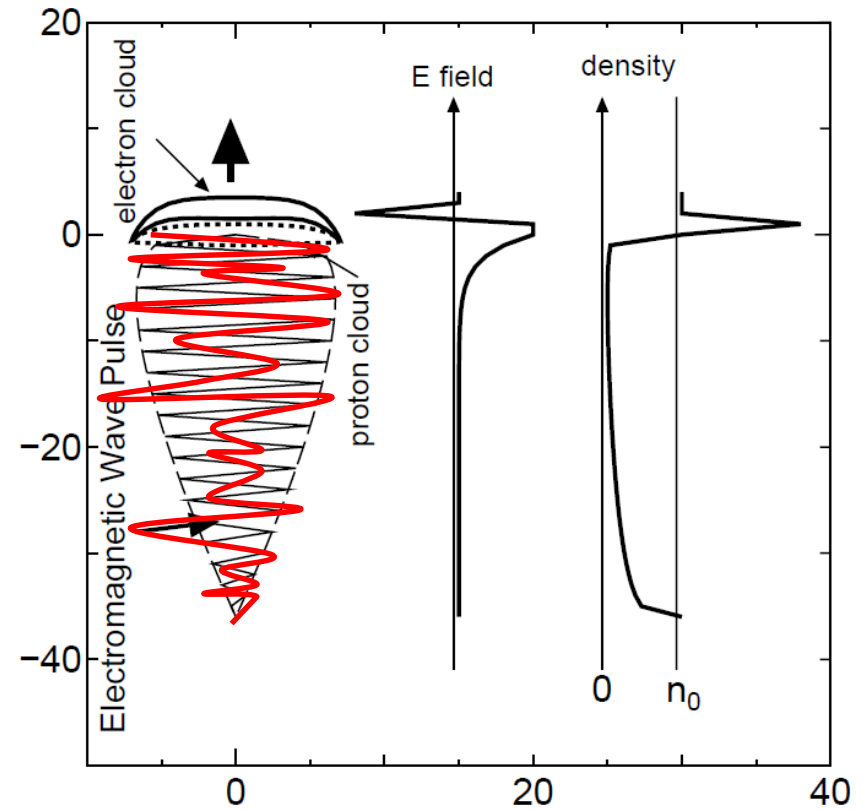
M87  
 D=16.4 Mpc  
 $M_{\text{BH}} = 6.6 \times 10^9 M_{\odot}$

# Conclusions

- Accreting BH+disk+jet = Astronomical Linear accelerator
  - Bursts of Intense Alfvén waves (highly relativistic) ← Laser
  - Jet ← wave guide
- Active Galactic Nuclei
  - Nearby gamma emitting AGNs
    - =ZeV acceleration of particles: UHECRs  $\sim 10^{20}$  eV
- Intermediate Mass Blackholes (IMBH:  $10^3$ - $10^5$  Ms) in M82
  - Possible origin of the Northern Hotspot by TA Group
- EeV-ZeV neutrinos: GZK process
- GW detection needs a large space antenna  $\gg$  LISA

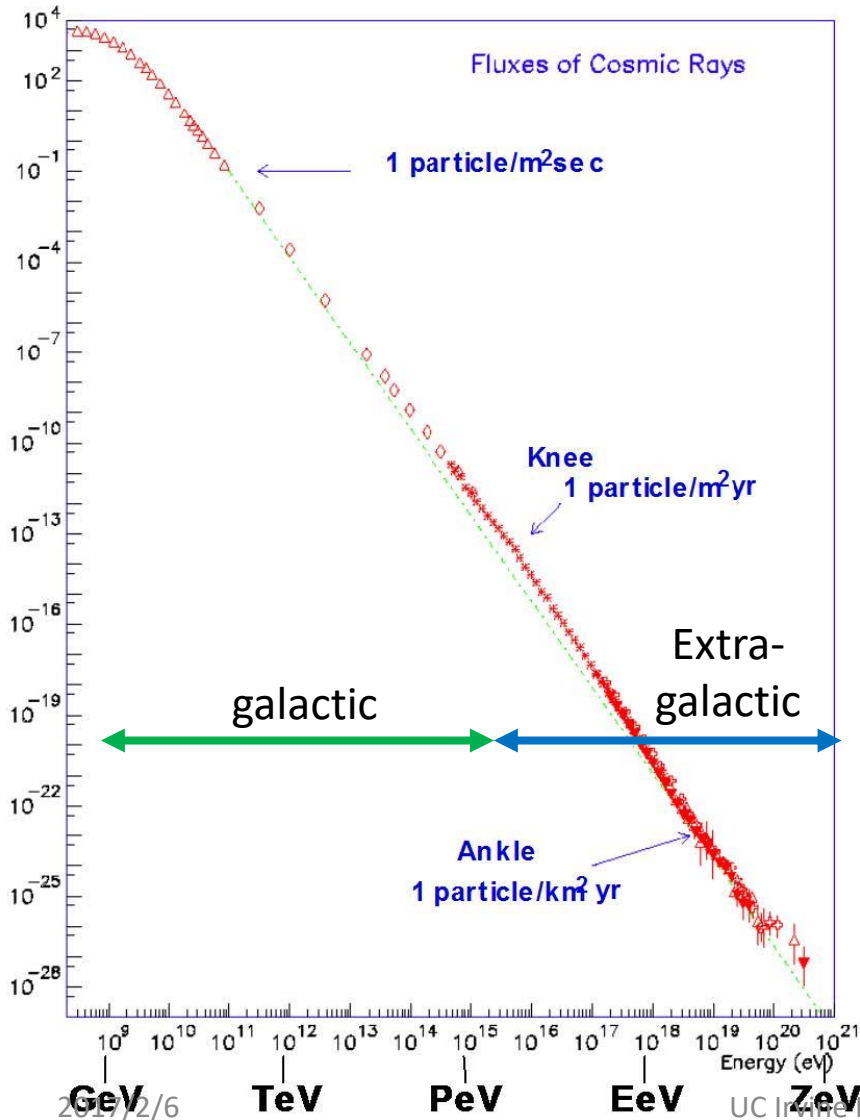
# Relativistic coherence

- Extremely relativistic  
→freezing-out





# Origin of Cosmic rays



- 100 years enigma
  - Discovered in 1912 by Victor Hess

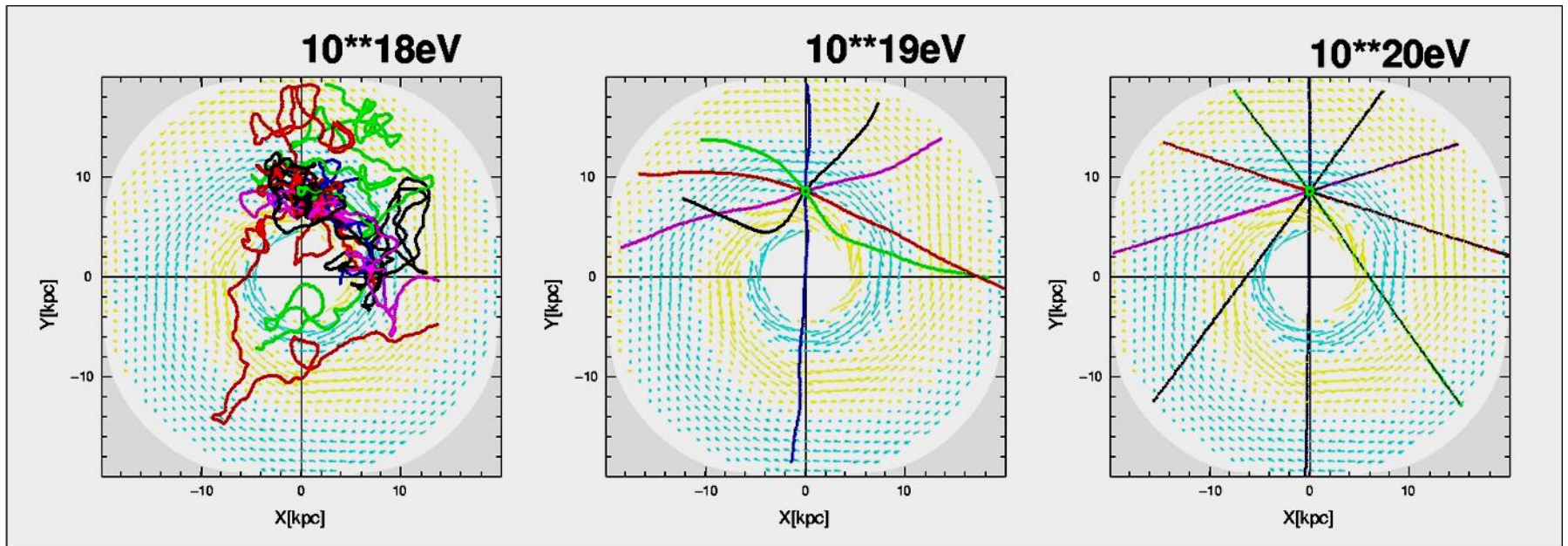
They lose original directions because of magnetic field

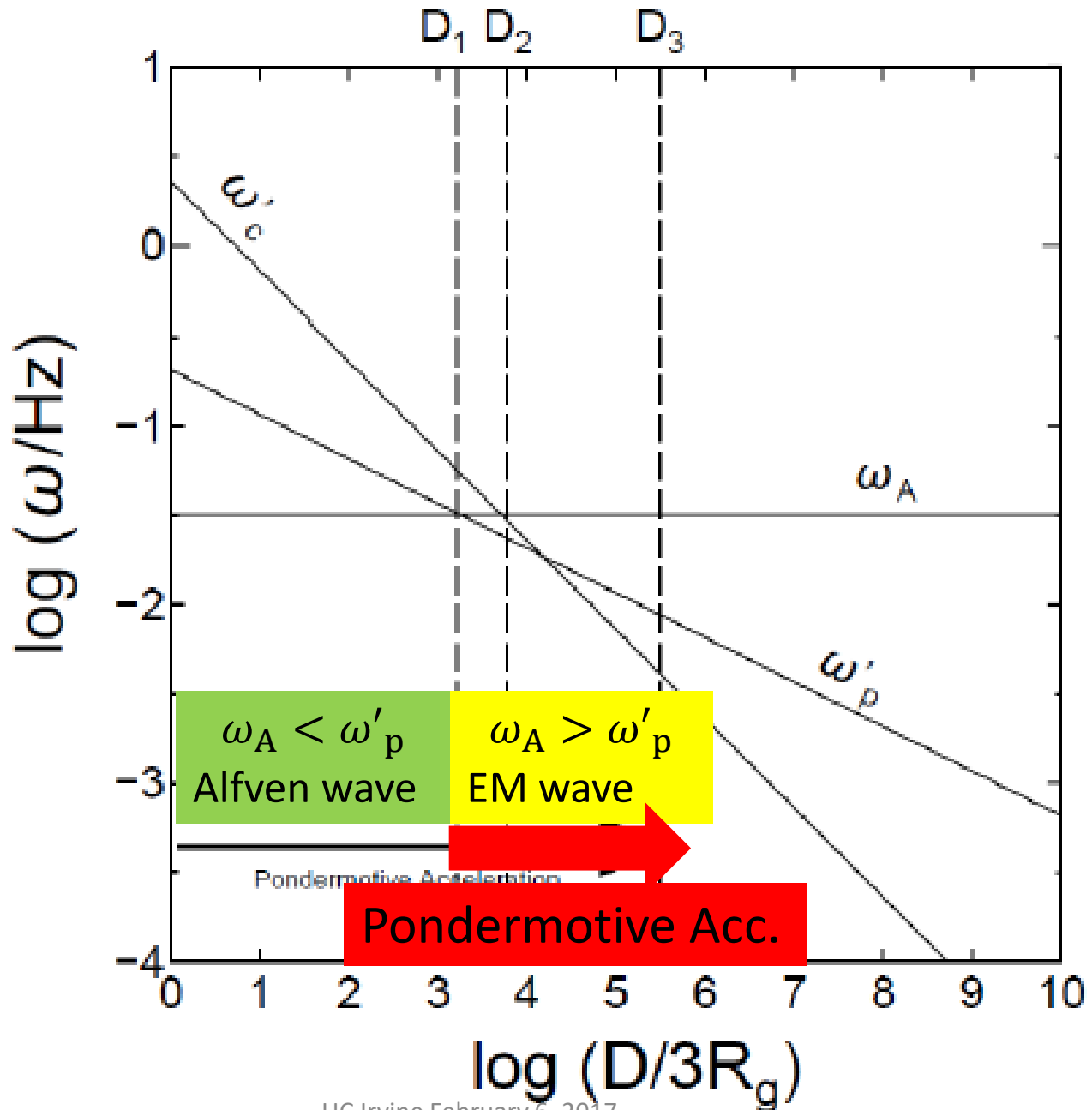
Isotropic distribution

# Why $CR > 10^{20}$ eV ?

Straight Line Astronomy

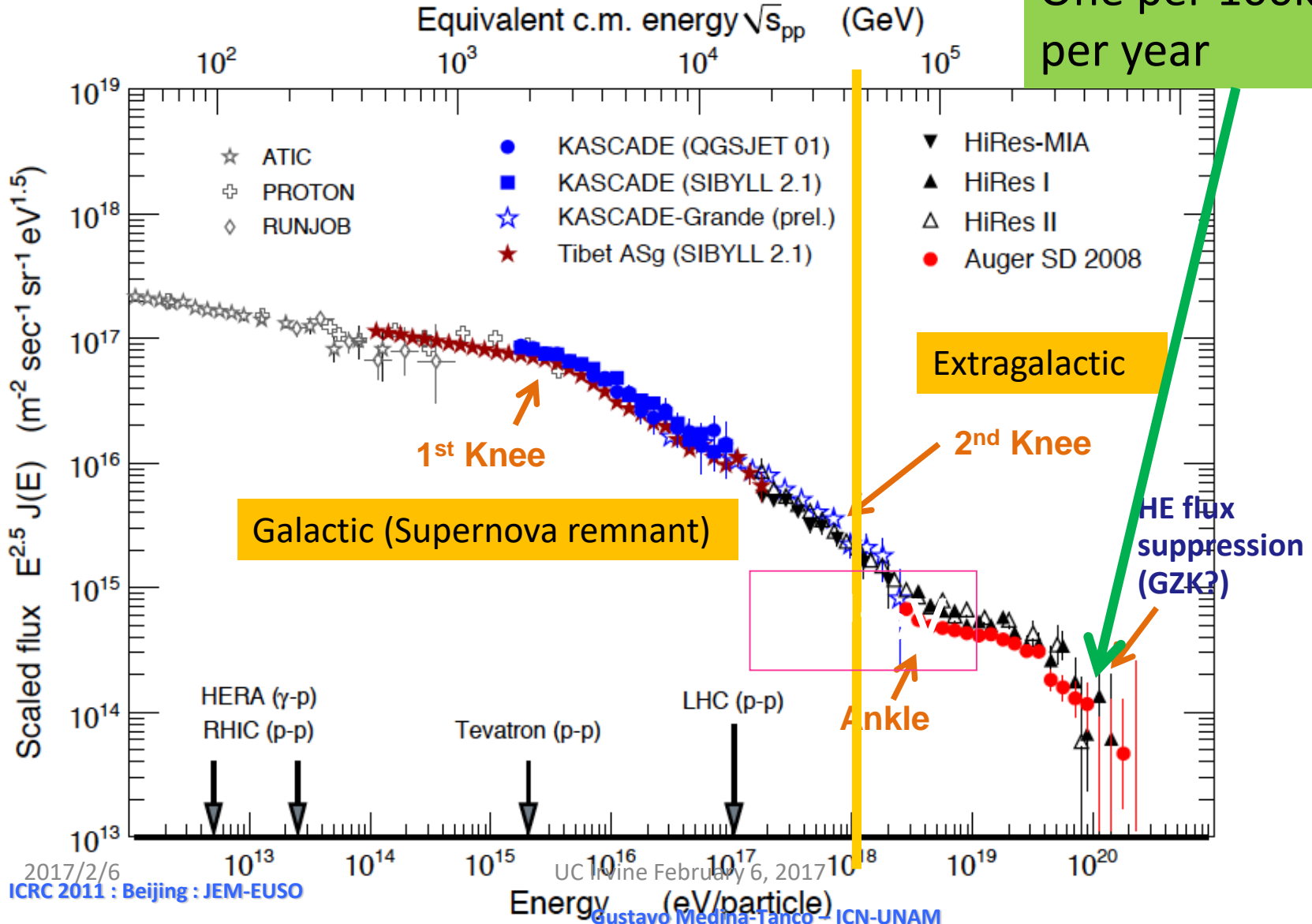
No bending vs bending



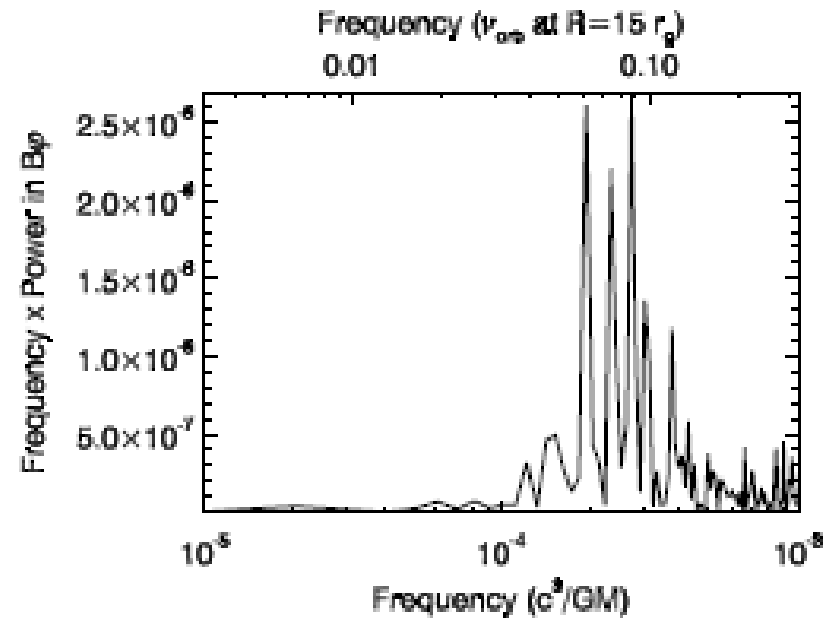
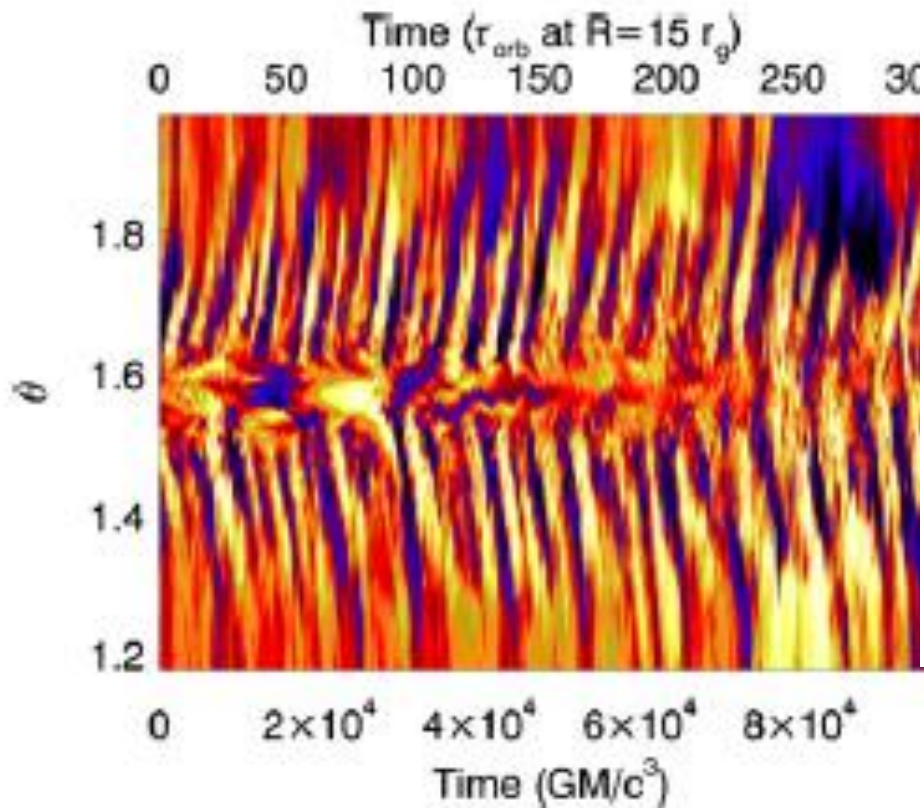


# Energy Spectrum

One per 100km<sup>2</sup>  
per year

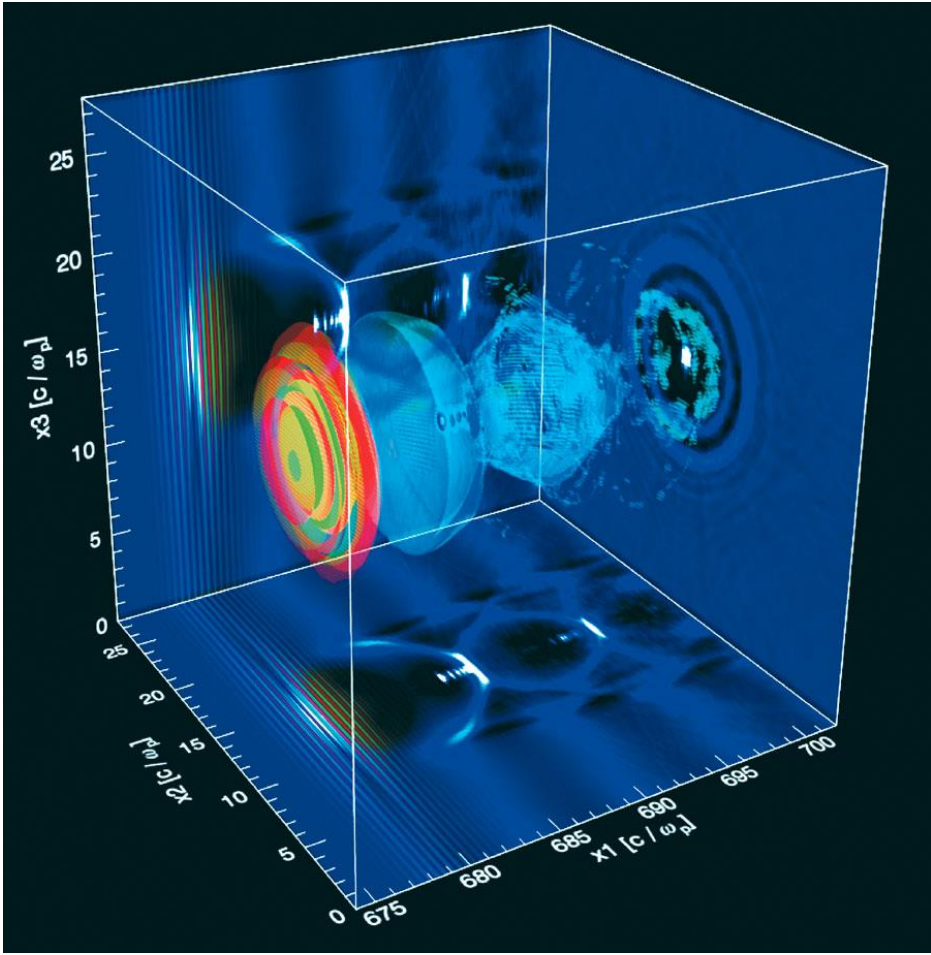


# Low Frequency Quasi Periodic Oscillation

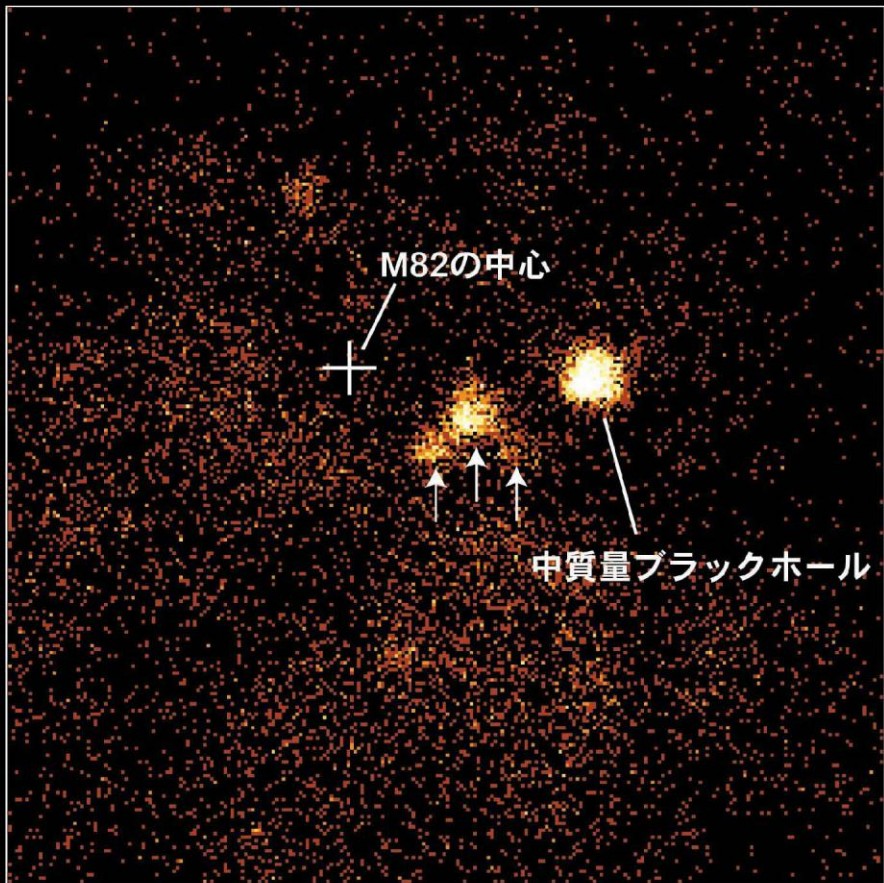


3D Numerical Simulation of Accretion disk  
by O'Neil et al 2008

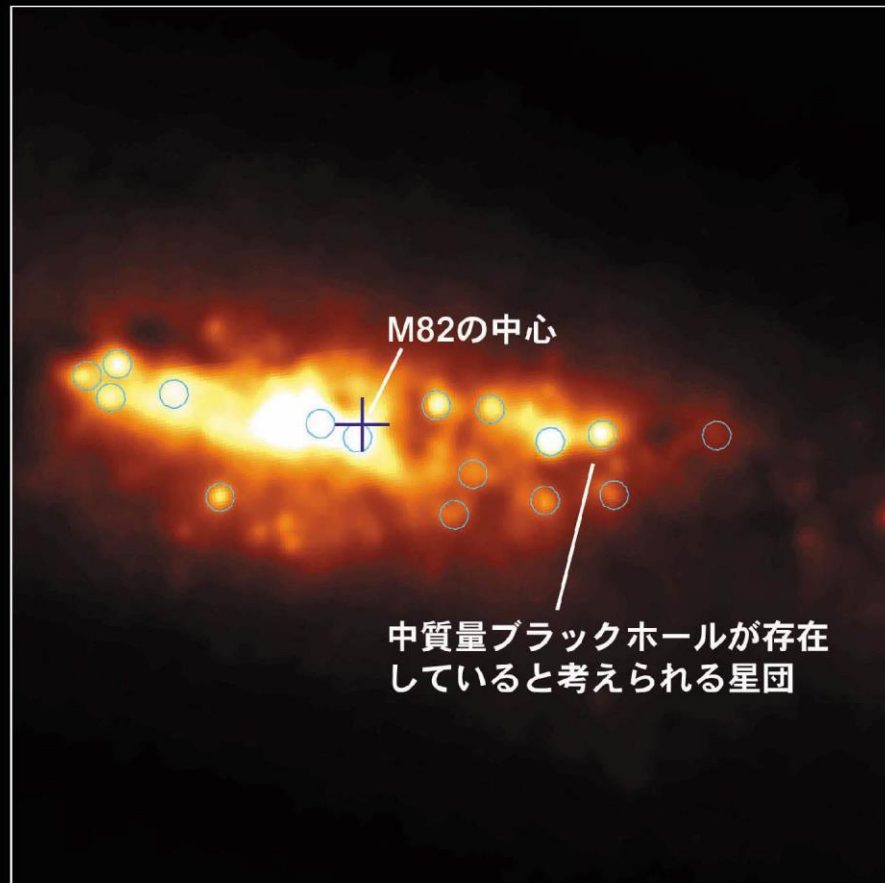
# Wakefield







M82 (NGC3034)  
HRC, Chandra X-ray Observatory  
Cosmic Ray Group, Kyoto University, September 13, 2000



M82 (NGC3034) SUBARU Telescope, CISCO (K')  
Cosmic Ray Group, Kyoto University, Japan  
National Astronomical Observatory of Japan



アメリカのX線天文衛星チャンドラを用いて私達が撮影したM82の中心領域(図4の左図の四角で囲まれた領域)のX線写真(京都大学 鶴 剛助手提供)。最も明るく光っているX線星が、今回新たに発見した中質量ブラックホールである。矢印は同時に発見したやや小型のブラックホールを示している。M82の中心はX線で非常に暗いこと、中質量ブラックホールはM82の中心から外れていることに注意。M82の中心から中質量ブラックホールまでの距離は約500光年である。

国立天文台すばる望遠鏡とCISCO観測装置を用いて私達のグループが撮影したM82の赤外線写真(京都大学 岩室史英 助手提供)。十字はM82の中心であり、丸はこの観測によって検出された星団を示している。この観測より中質量ブラックホールが存在していると考えられる星団が検出された。

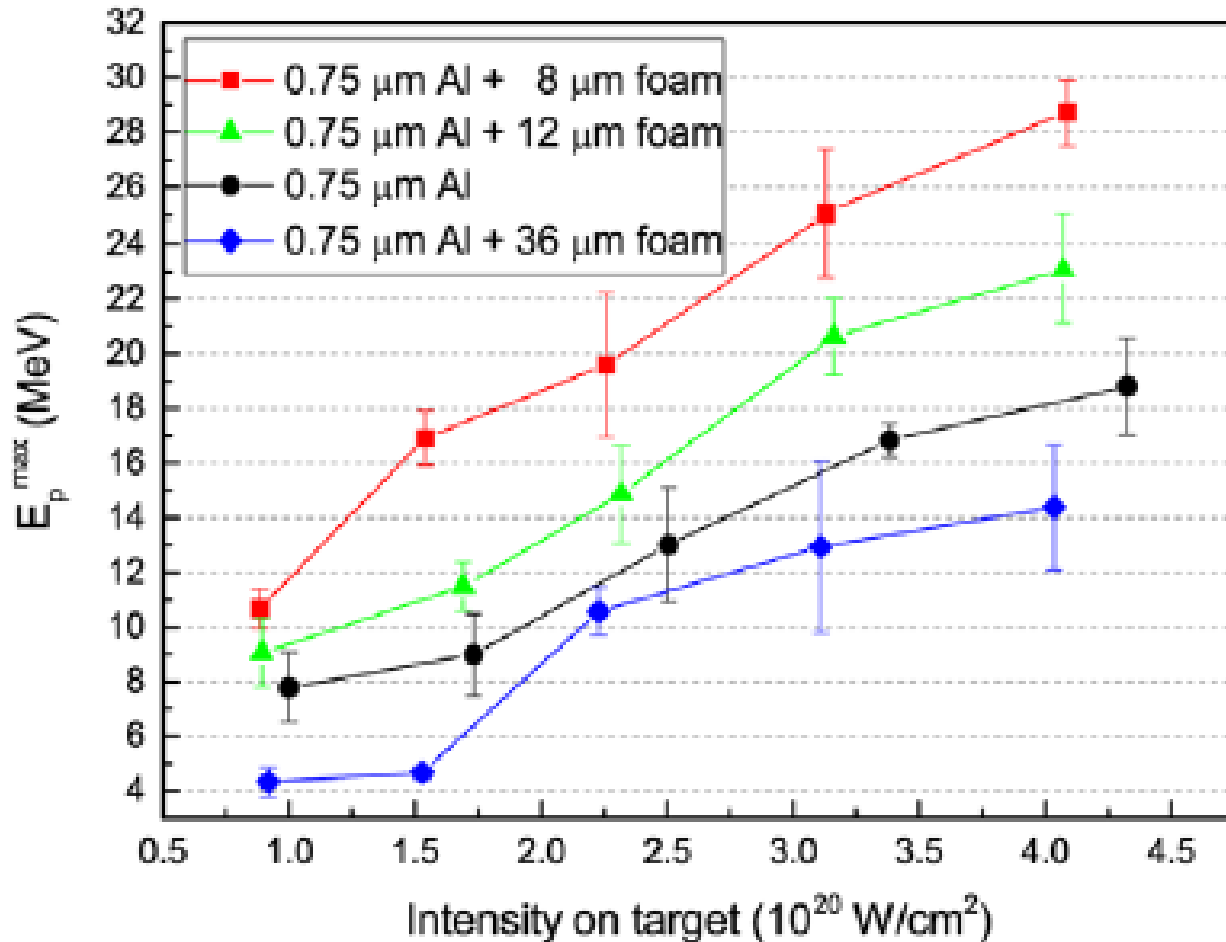
2017/2/6

UC Irvine February 6, 2017

図5: 中質量ブラックホールが星団に属していることがわかった

# Proton acceleration

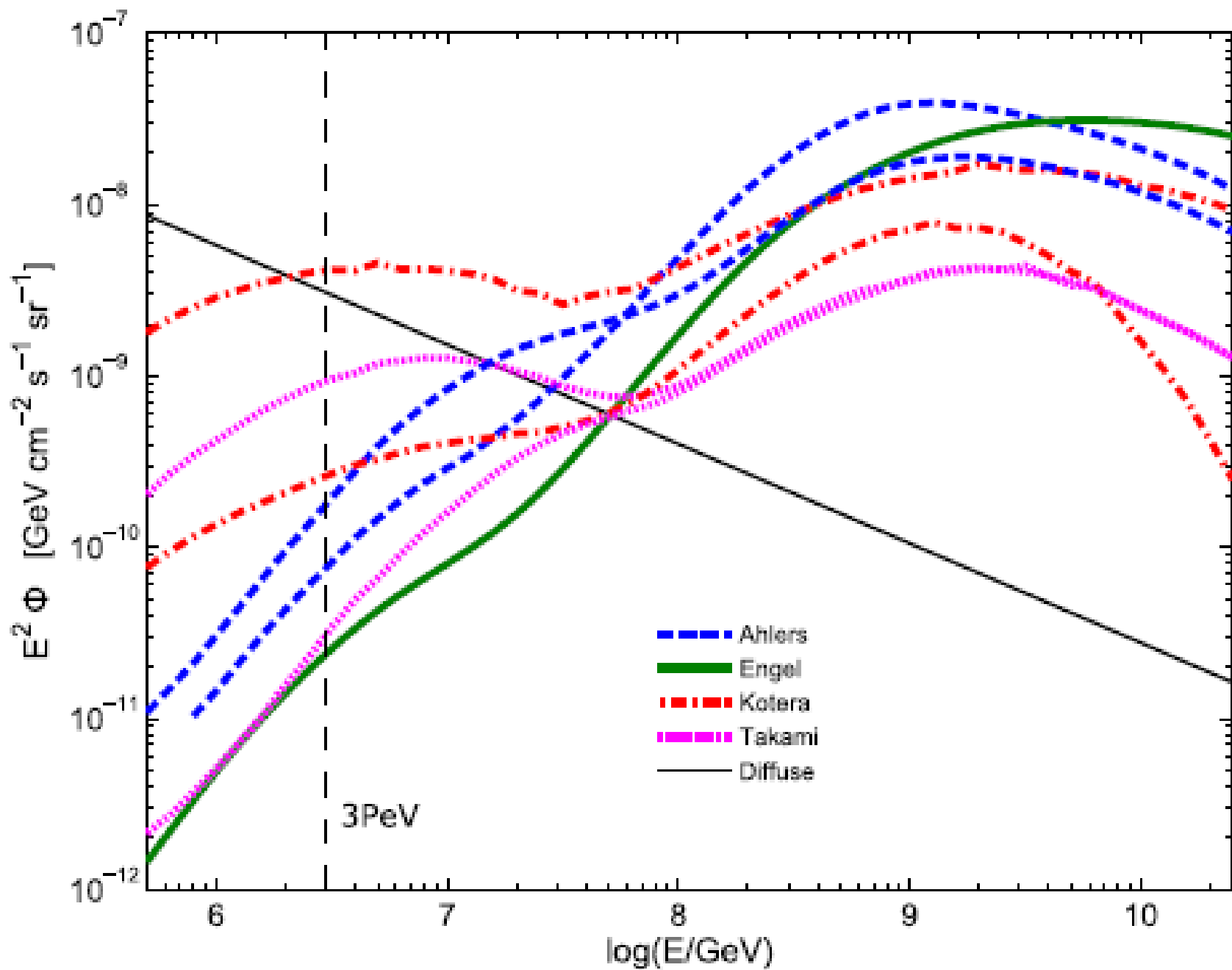
Prenciple et al. (2016) Plasma Phys. Control. Fusion, 58, 034019



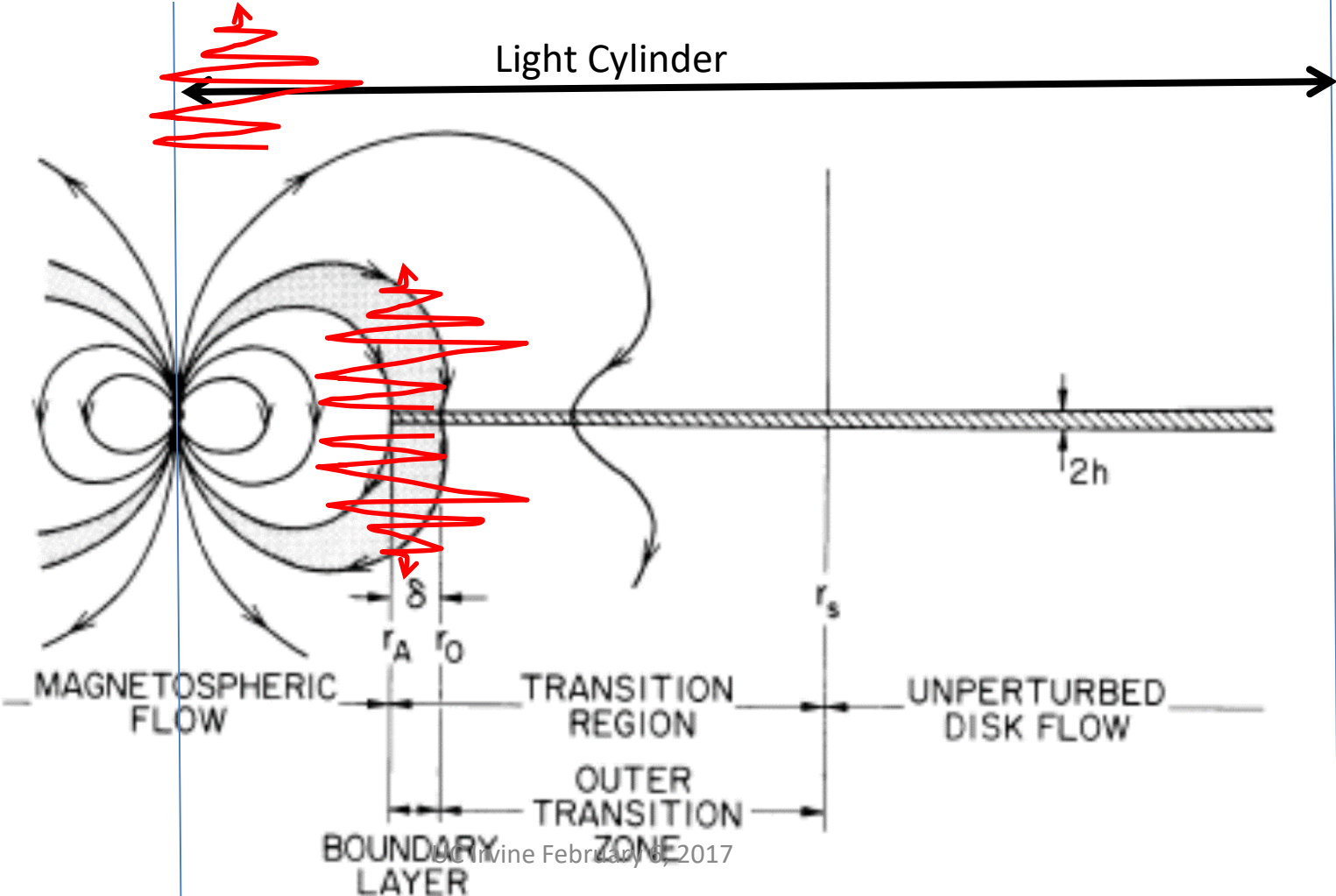


# Intermediate Mass Blackholes in M82

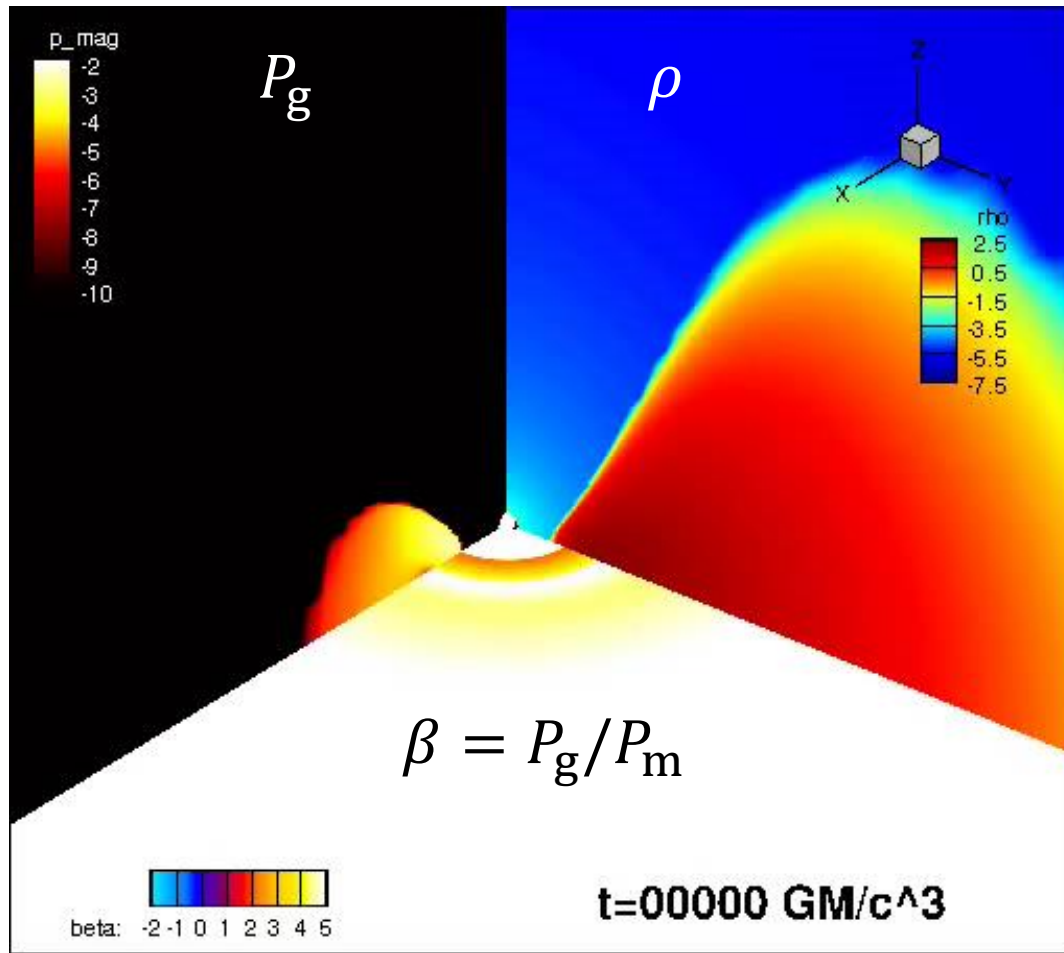
- Ultra Luminous X-ray Sources
  - Mass > 1 000 solar mass
- Near the center (not a just a center) of M82
  - Star bursting galaxy
- Located in the young Star Cluster MGG11



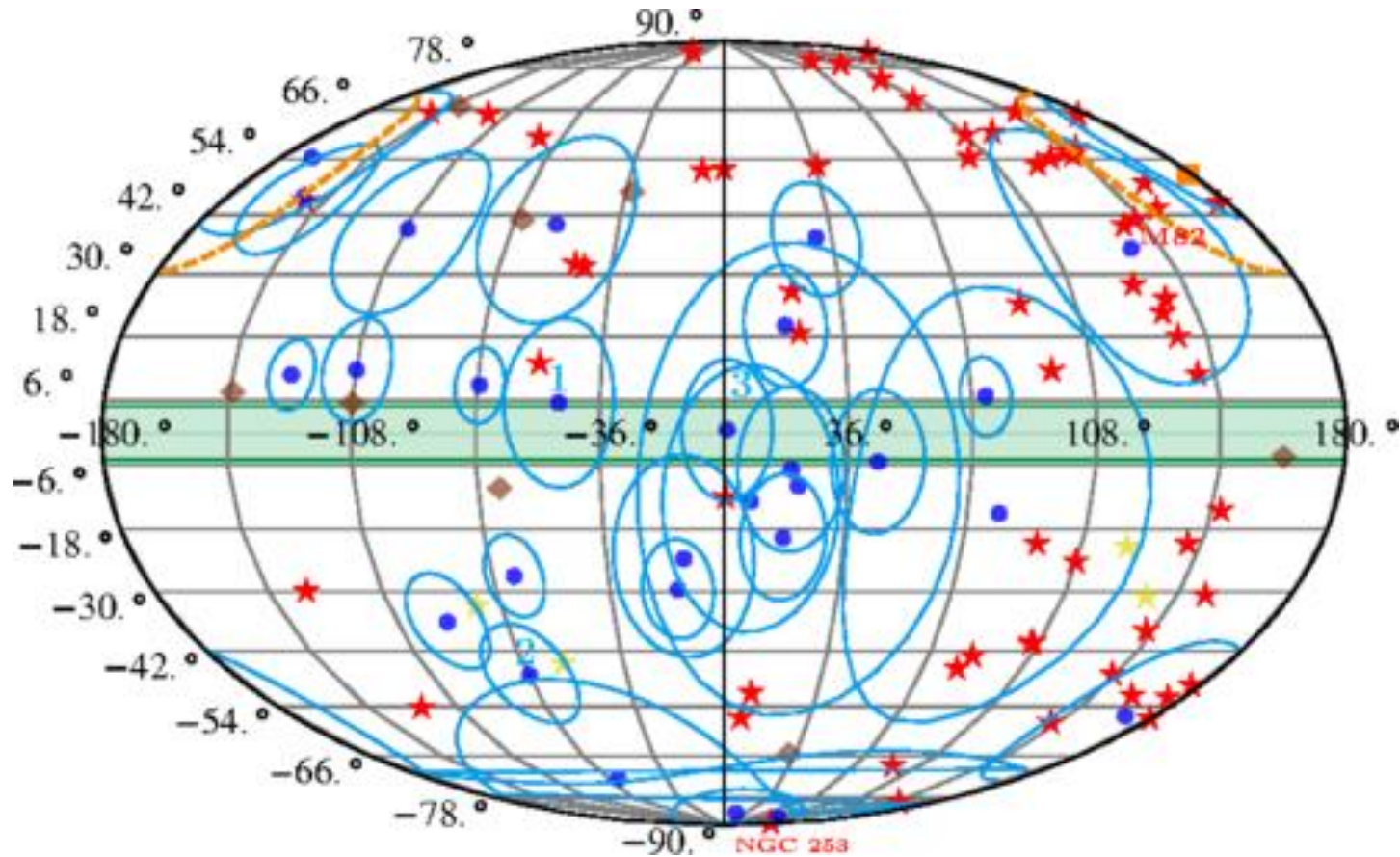
# Magnetar with accretion



# 3-D relativistic MHD simulation



# Comparison of IceCube event locations [4] with star-forming galaxies [21] and the ultrahigh energy cosmic ray hot spot reported by the TA Collaboration



Anchordoqui et al. 2014, Phys. Rev. D., 89, 127304